

5.3.4 2005年冬季(2~3月)分析結果

2005年冬季(2~3月)分析は、DPAA、PAAおよびPMAAを行った。結果は、以下の表および図としてまとめた。なお、値はすべてヒ素換算値とした。

表 5.3.8 2005年冬季(2~3月)地下水分析結果一覧表

図 5.3.26 2005年冬季(2~3月)ABトラック地下水DPAA汚染状況図

図 5.3.27 2005年冬季(2~3月)A井戸周辺地下水DPAA汚染状況図

図 5.3.28 2005年冬季(2~3月)B地区地下水DPAA汚染状況図

図 5.3.29 2005年冬季(2~3月)ABトラック地下水DPAA・PAA・PMAA汚染状況図(深度10m)

図 5.3.30 2005年冬季(2~3月)ABトラック地下水DPAA・PAA・PMAA汚染状況図(深度20m)

図 5.3.31 2005年冬季(2~3月)ABトラック地下水DPAA・PAA・PMAA汚染状況図(深度30m)

図 5.3.32 2005年冬季(2~3月)A井戸周辺地下水DPAA・PAA・PMAA汚染状況図(深度10m)

図 5.3.33 2005年冬季(2~3月)A井戸周辺地下水DPAA・PAA・PMAA汚染状況図(深度20m)

図 5.3.34 2005年冬季(2~3月)A井戸周辺地下水DPAA・PAA・PMAA汚染状況図(深度30m)

図 5.3.35 2005年冬季(2~3月)B地区地下水DPAA・PAA・PMAA汚染状況図(深度10m)

図 5.3.36 2005年冬季(2~3月)B地区地下水DPAA・PAA・PMAA汚染状況図(深度20m)

図 5.3.37 2005年冬季(2~3月)B地区地下水DPAA・PAA・PMAA汚染状況図(深度30m)

1) A井戸周辺

A井戸直近では、2004秋季測定に引続き、A井戸の南西と南東の2カ所で高濃度汚染が認められる。

A井戸の南西部分のNo37は、濃度が低下している一方で、南東部分のNo13、37、72では濃度が上昇している。

グラント北西角(No27、155)は、濃度が低下している。

また、A井戸の南東部を除いては、全体に濃度が低下する傾向にある。

2) B地区

2004秋季測定に引続き、B地区中心付近のNo163孔の深度29mで0.47ppmの汚染が認められ、周辺に向かって薄くなる傾向がある。

3) AB間

2004秋季測定に引続き、No174、55、194、178、177、56で非常に薄い汚染が確認されている。

4) ABトラック外周

17孔のモニタリング孔のうち、南西端に位置するM-3孔において、非常に低濃度(深度10mで0.015ppm、深度20mで0.027ppm、深度30mで0.026ppm)のジフェニルアルシン酸を検出した。それ以外の16孔では検出されなかった。

5) DPAA、PAA、PMAA分布

2005冬季のDPAA、PAA、PMAAを比較すると、濃度はこれまでと同様、基本的には高い順に、DPAA、PAA、PMAAになるが、AB間のPAAについては、一部DPAAよりも高濃度の箇所が認められる。

PMAAは、濃度自体非常に低く、その分布もこれまで同様、A井戸南東90m(掘削調査地点)周辺のみである。

図5.3.26 2005年冬季(2~3月)ABトラック地下水DPAA汚染状況図

単位: ppb (ヒ素換算値)

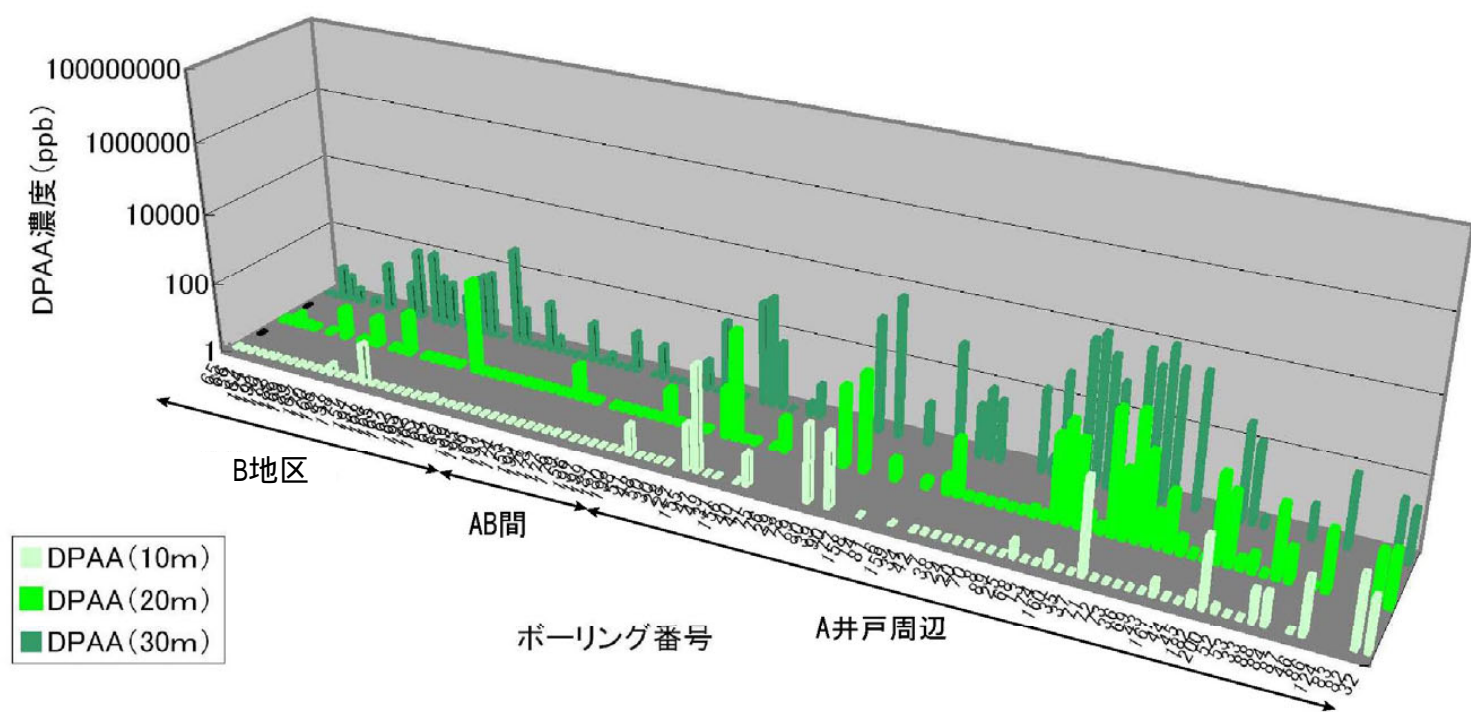
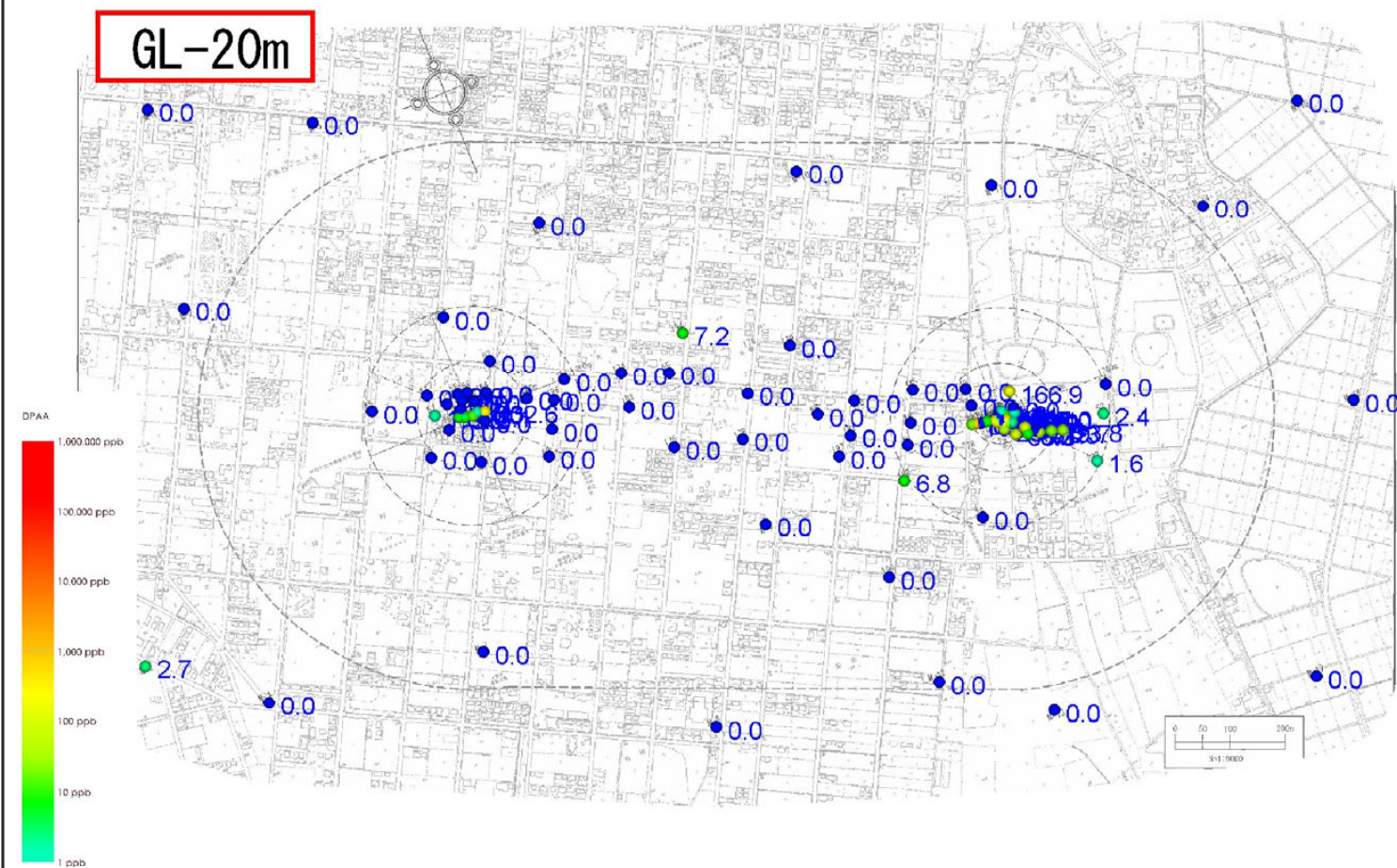
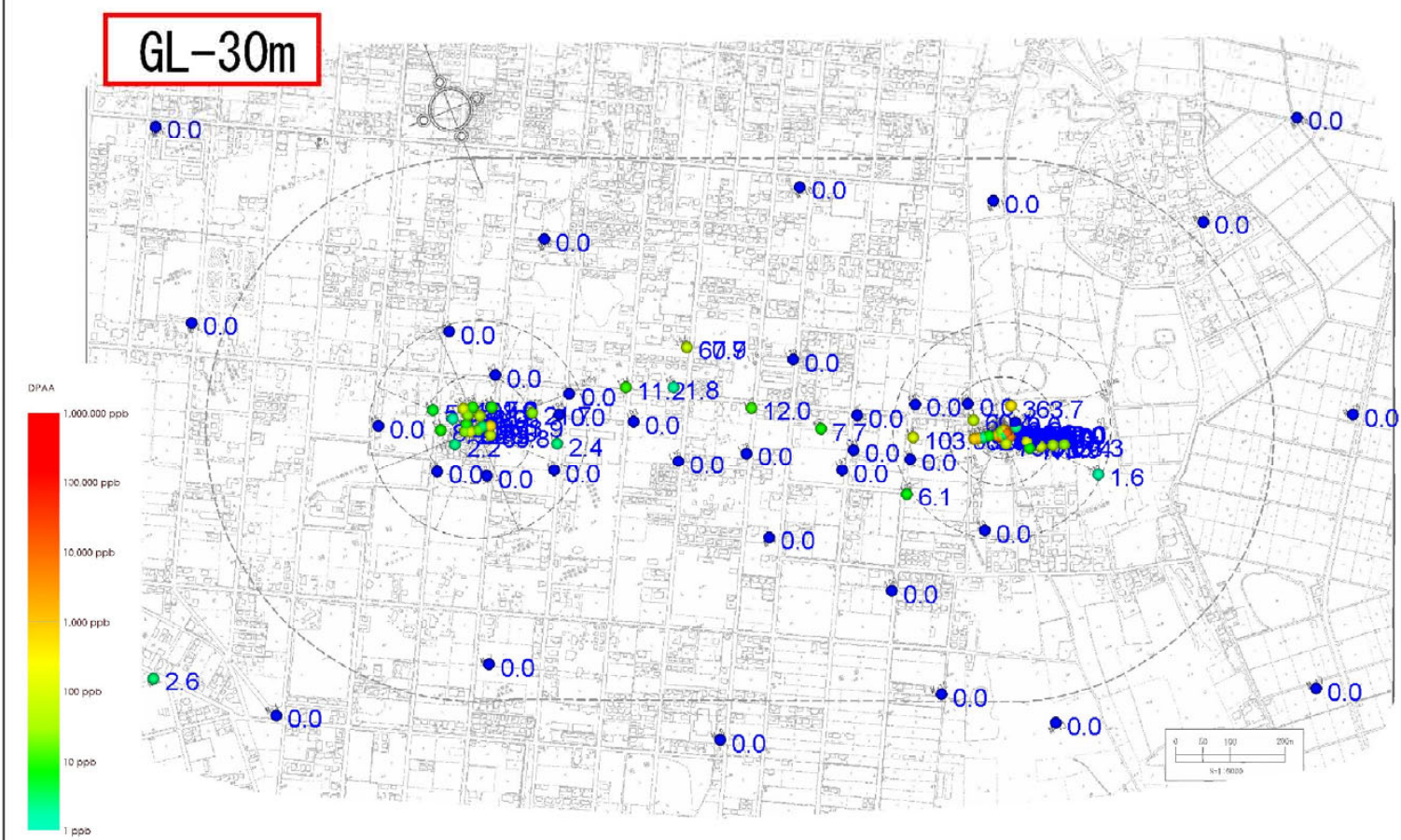
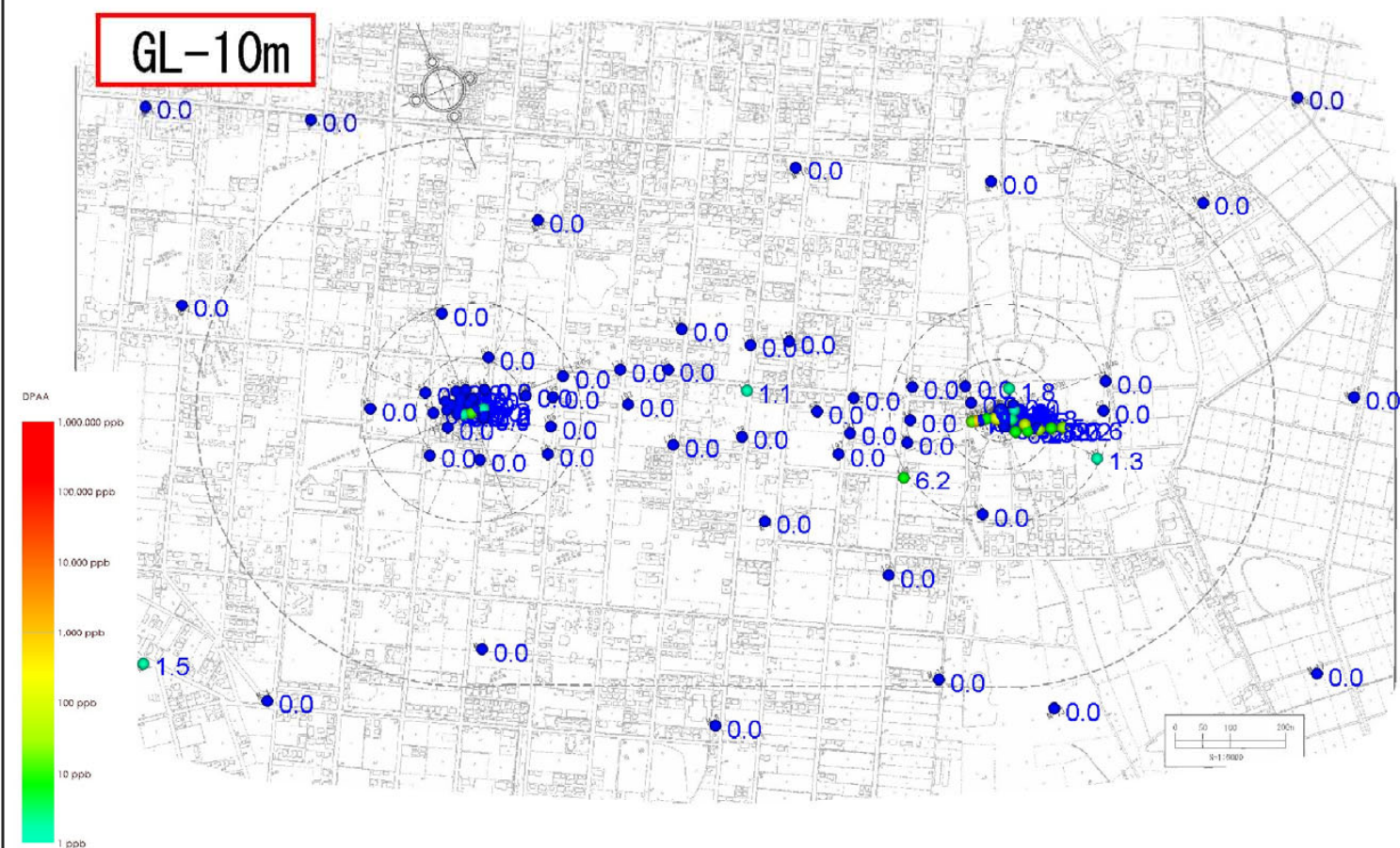


図5.3.27 2005年冬季(2~3月)A井戸周辺地下水DPAA汚染状況図

単位: ppb(ヒ素換算値)

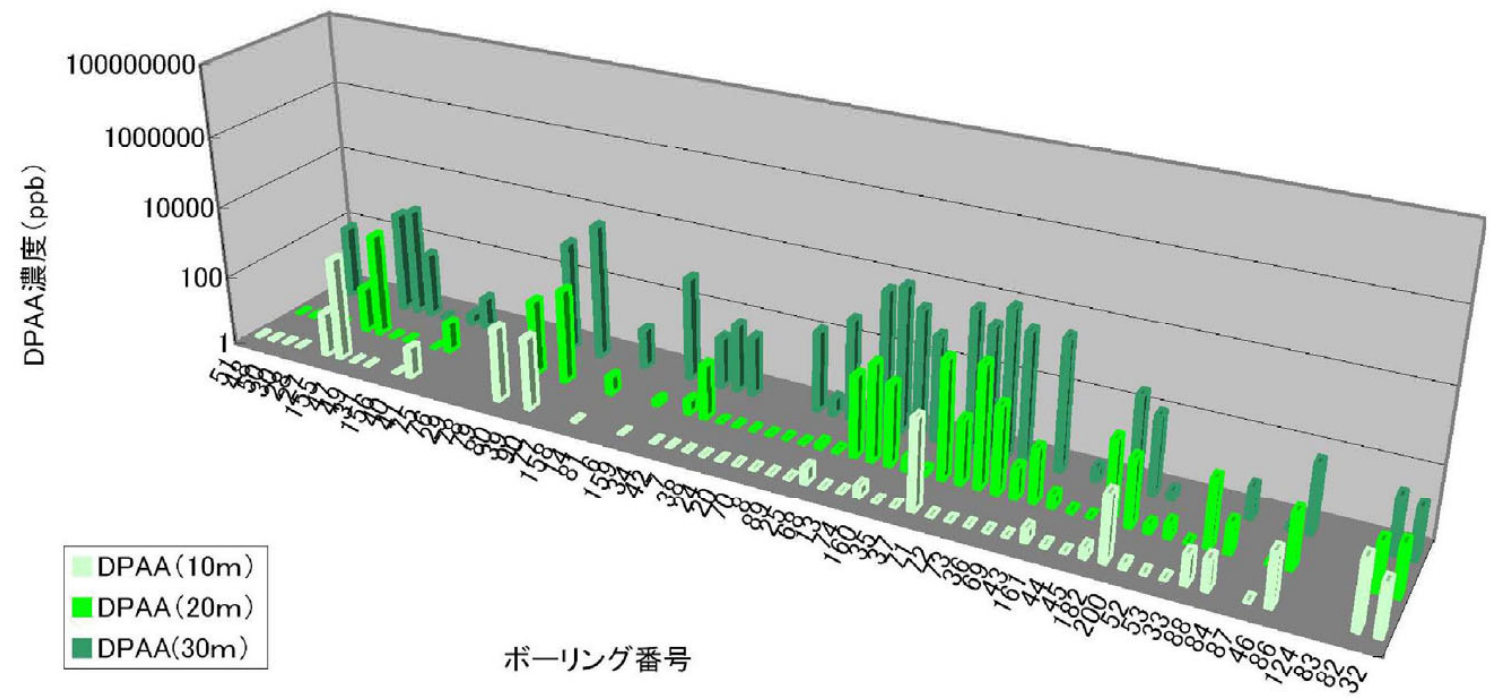
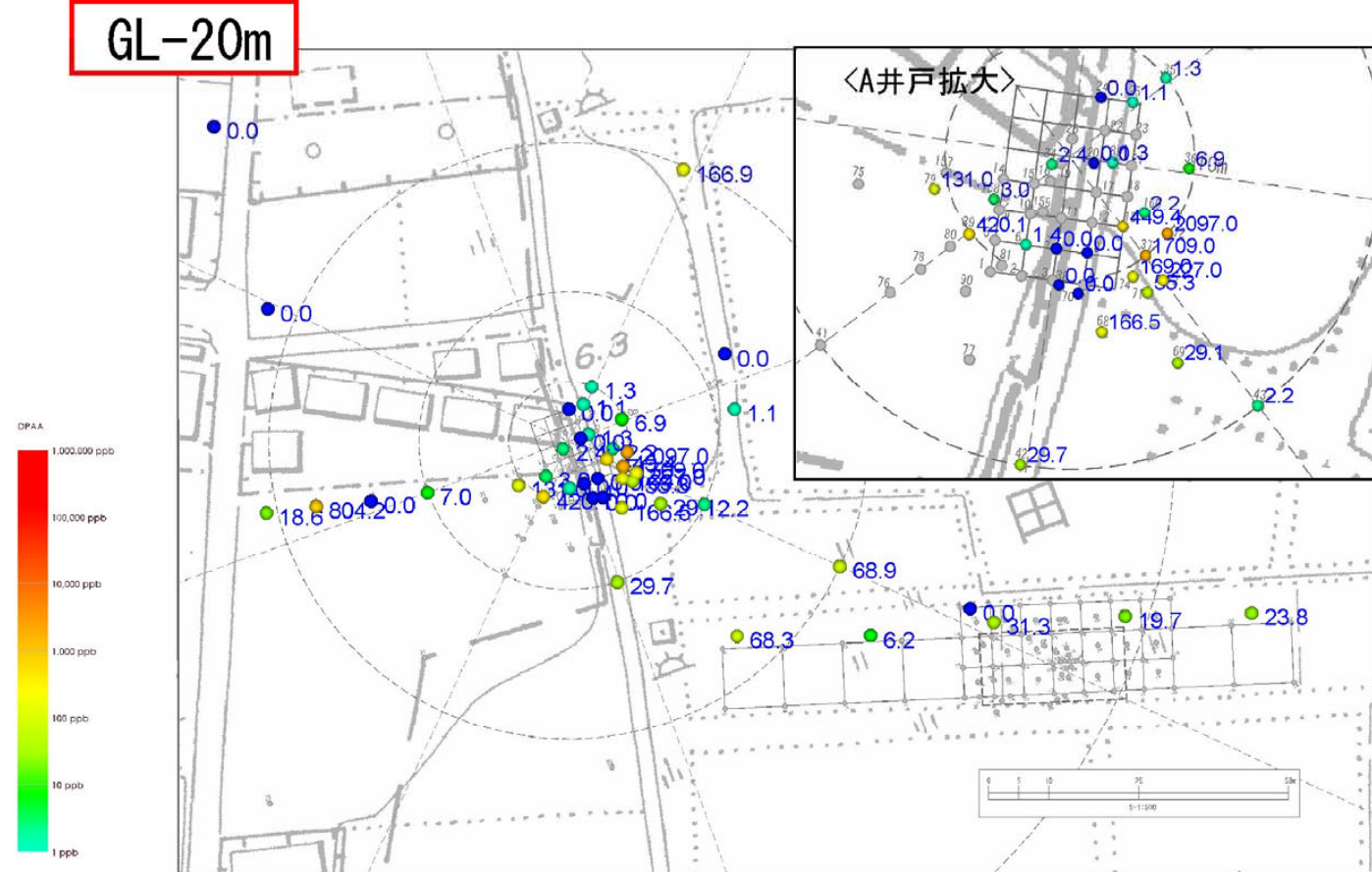
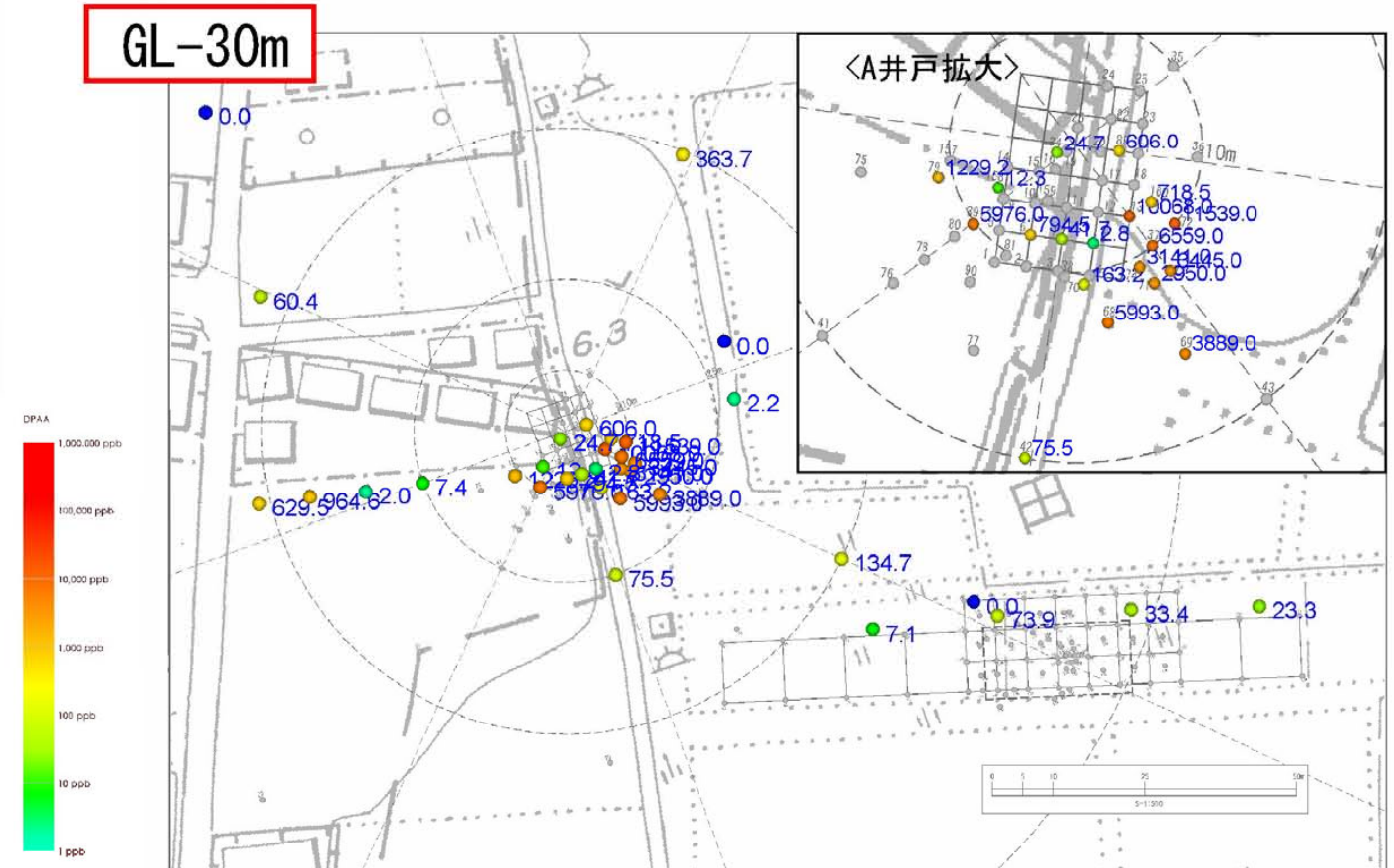
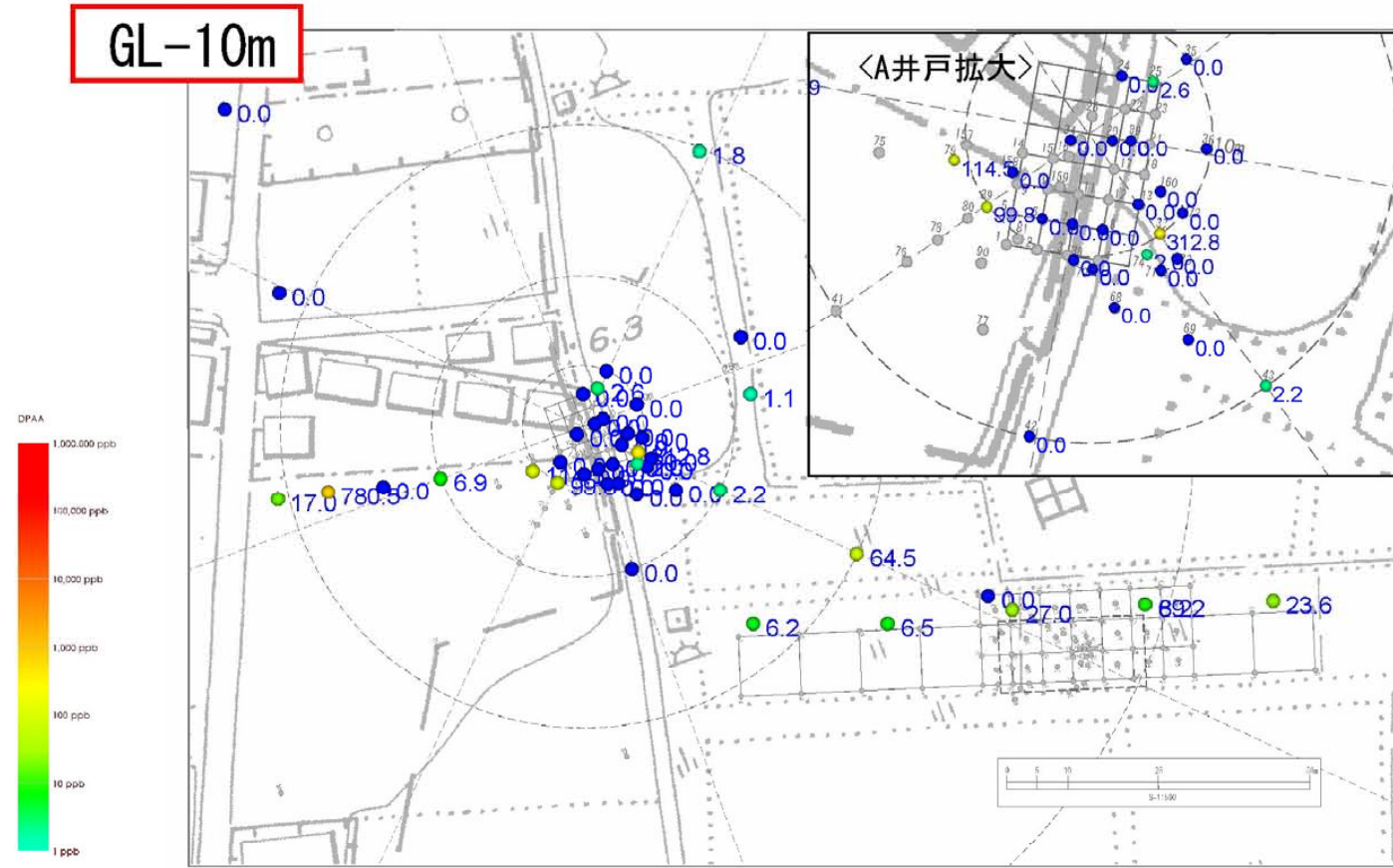


図5.3.28 2005年冬季(2~3月)B地区地下水DPAA汚染状況図

単位: ppb(ヒ素換算値)

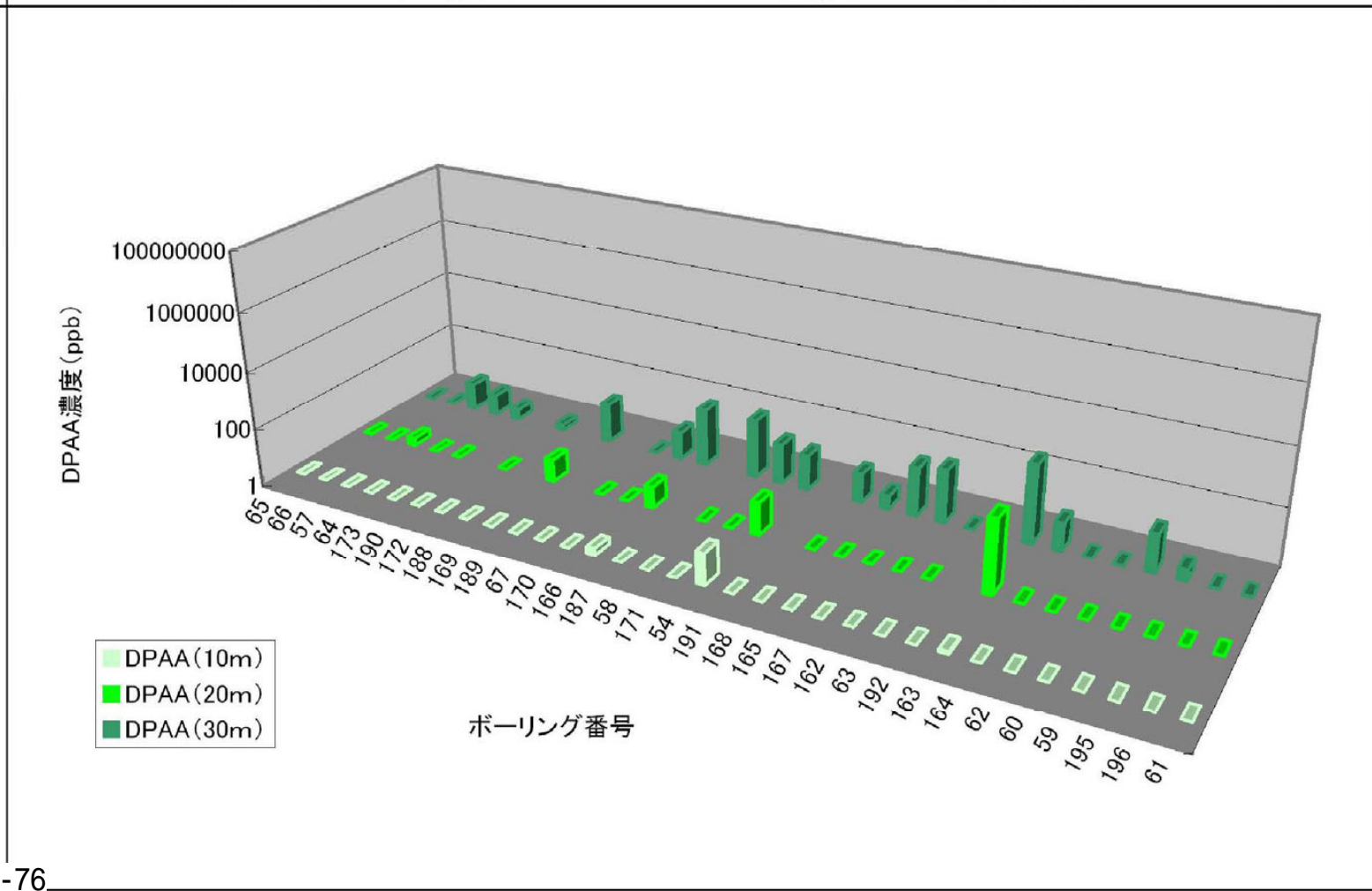
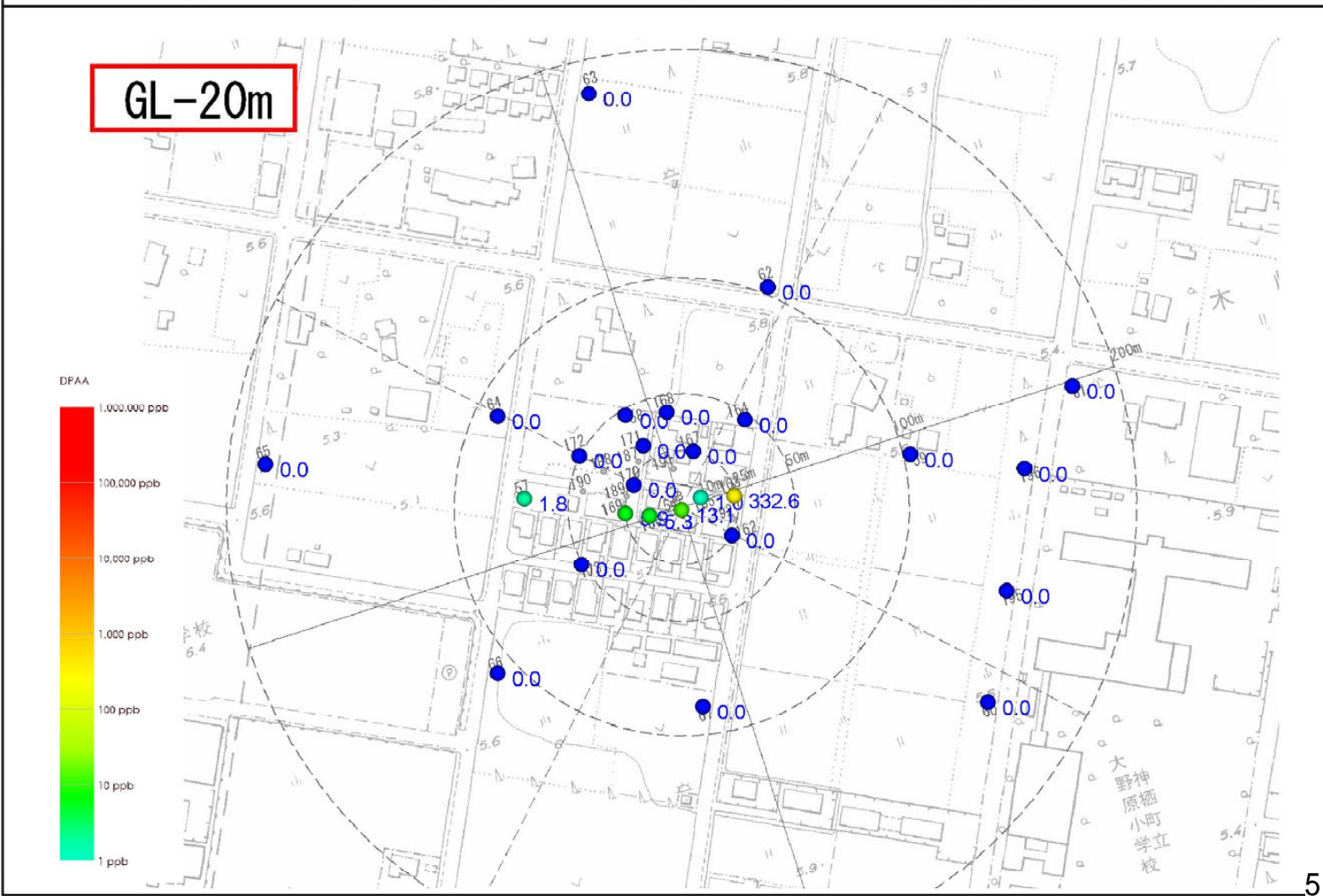
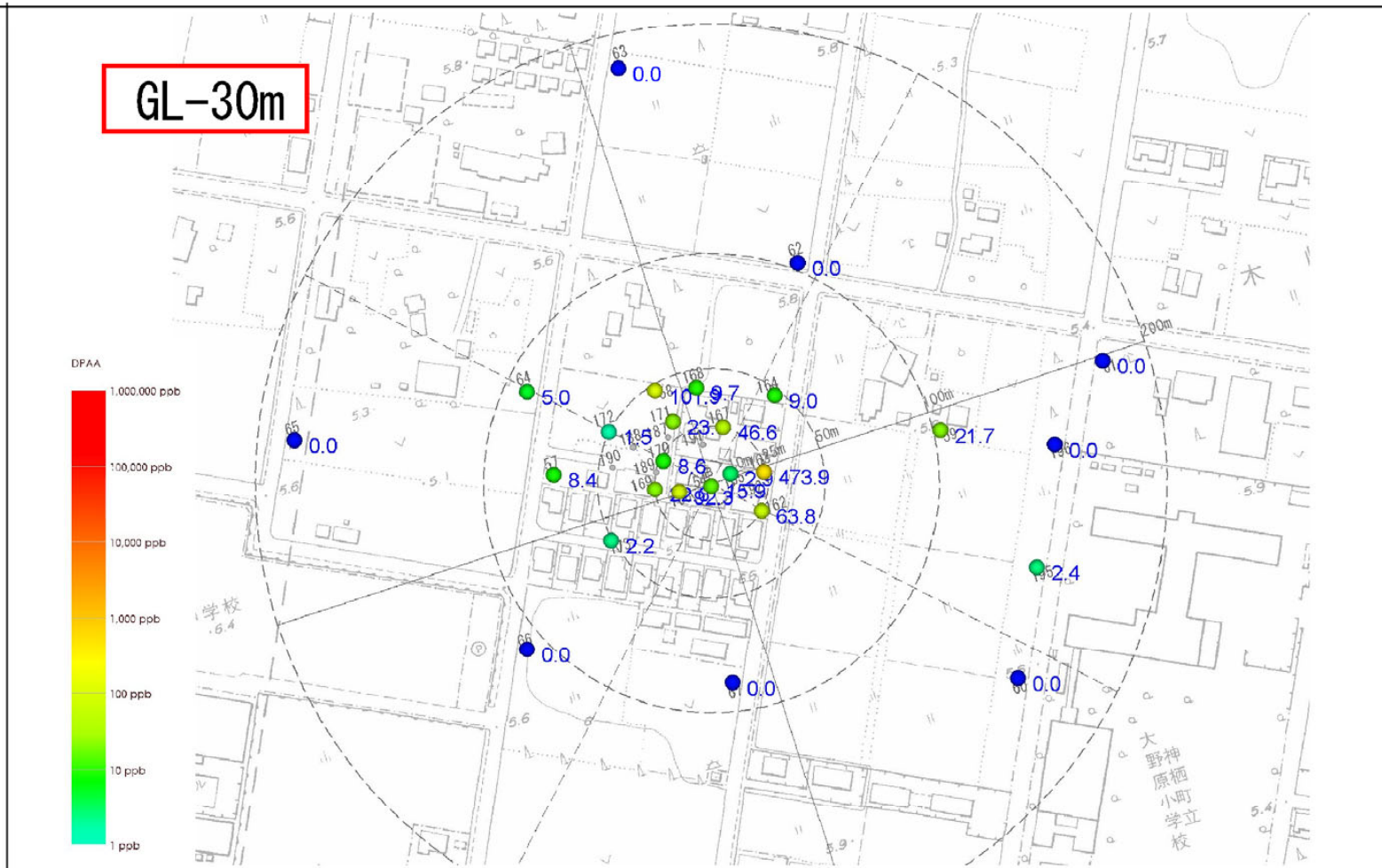
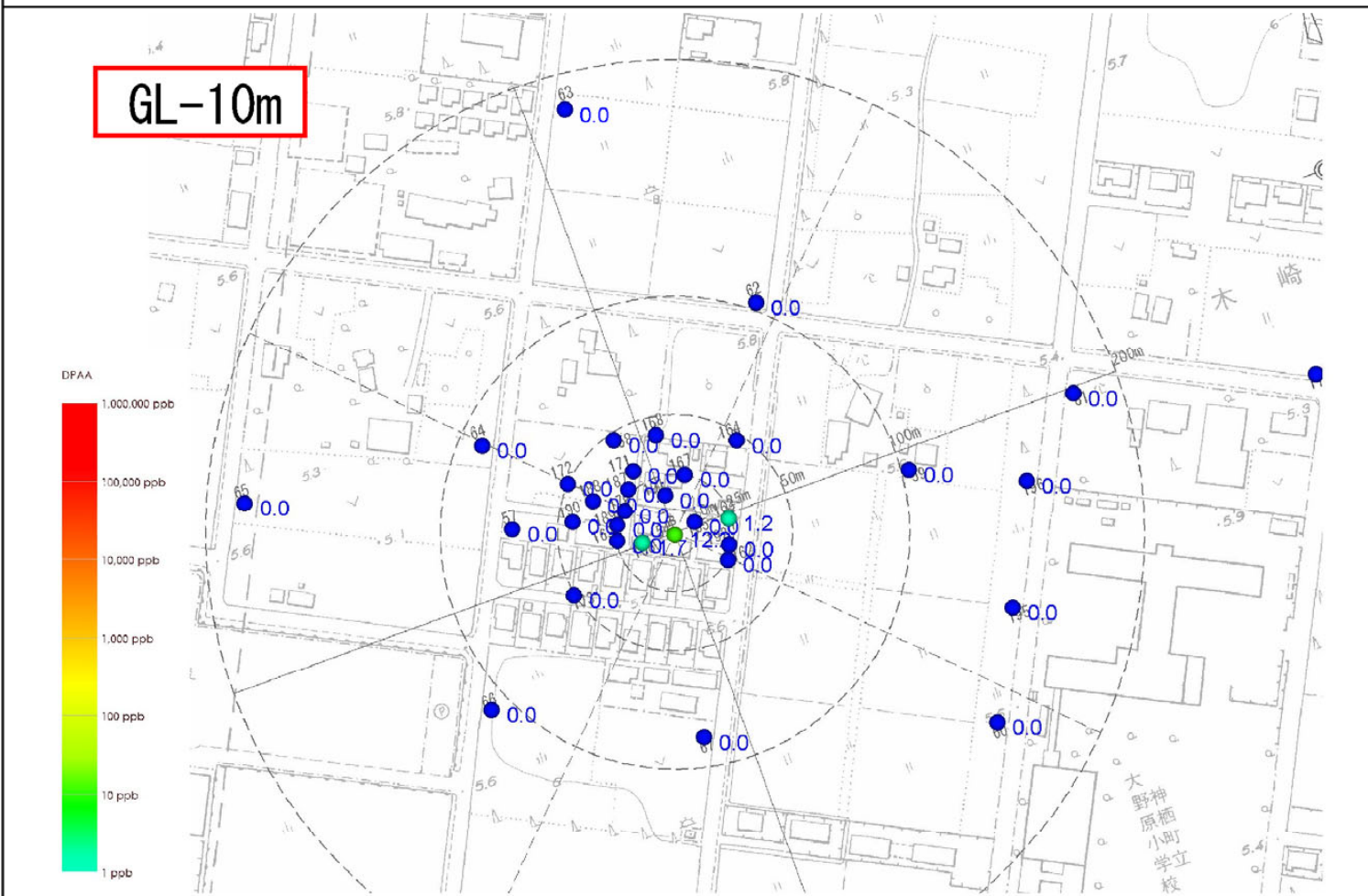


図5.3.29 2005年冬季(2~3月)ABトラック地下水DPAA・PAA・PMAA汚染状況図(深度10m) 単位:ppb(ヒ素換算値)

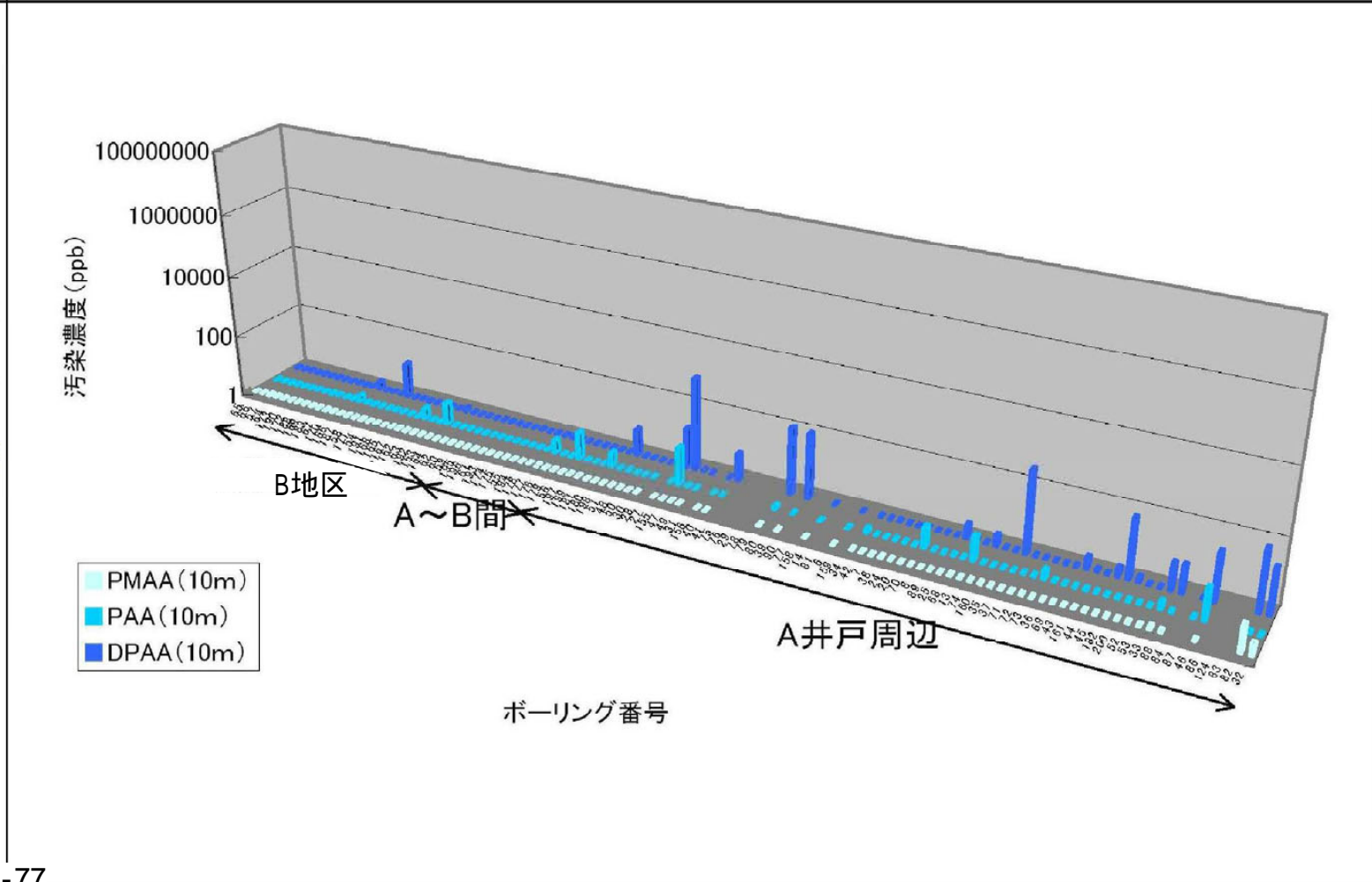
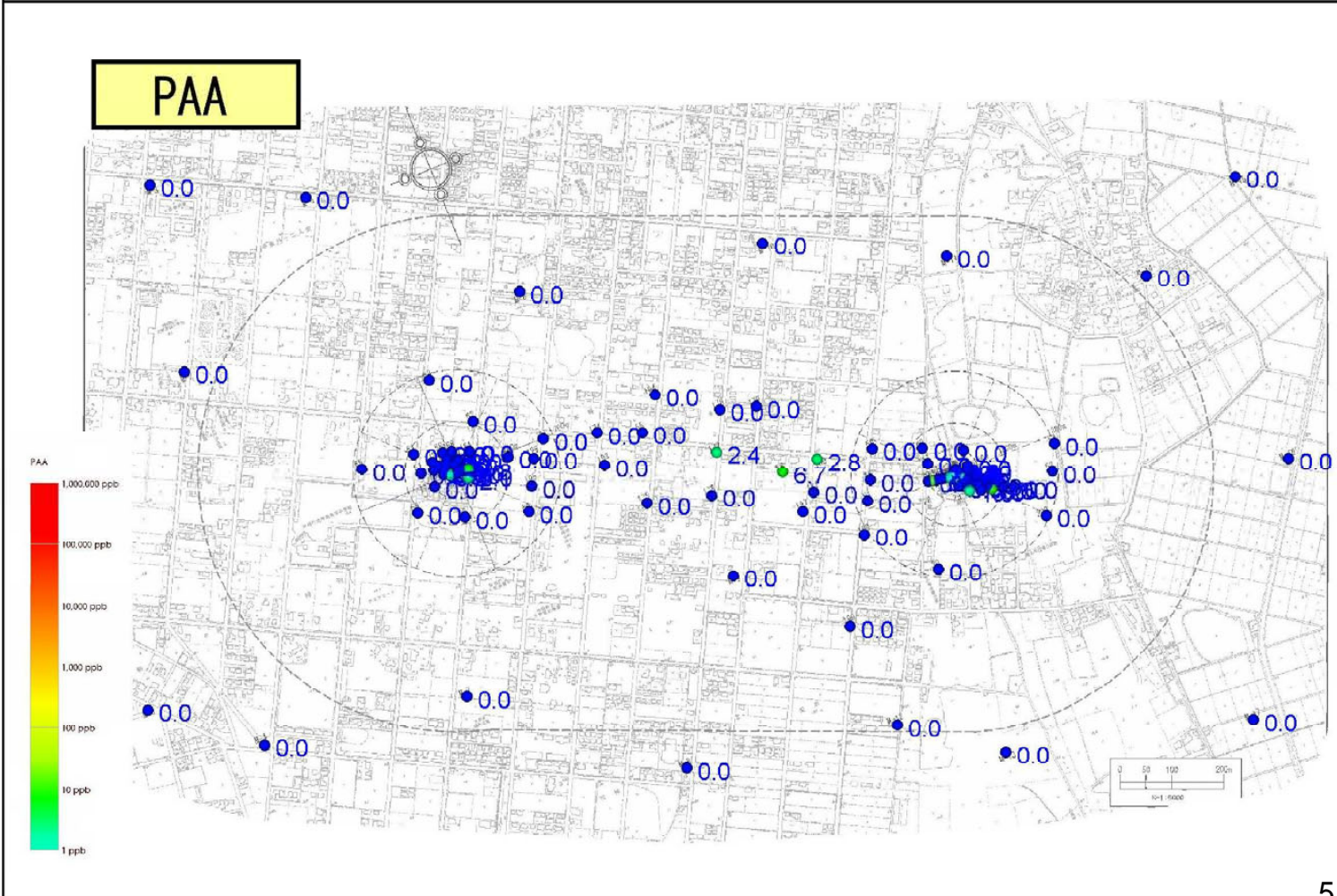
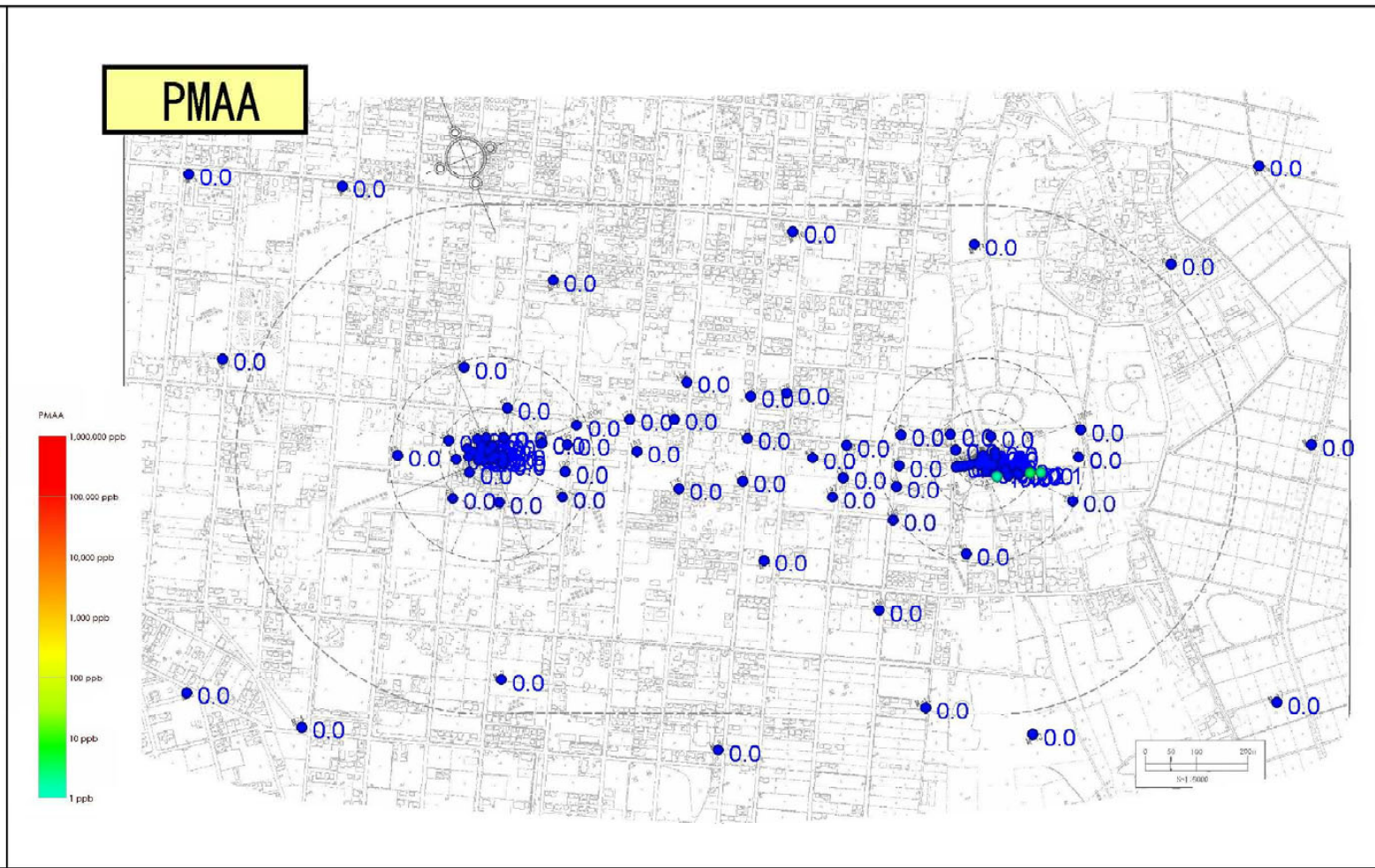
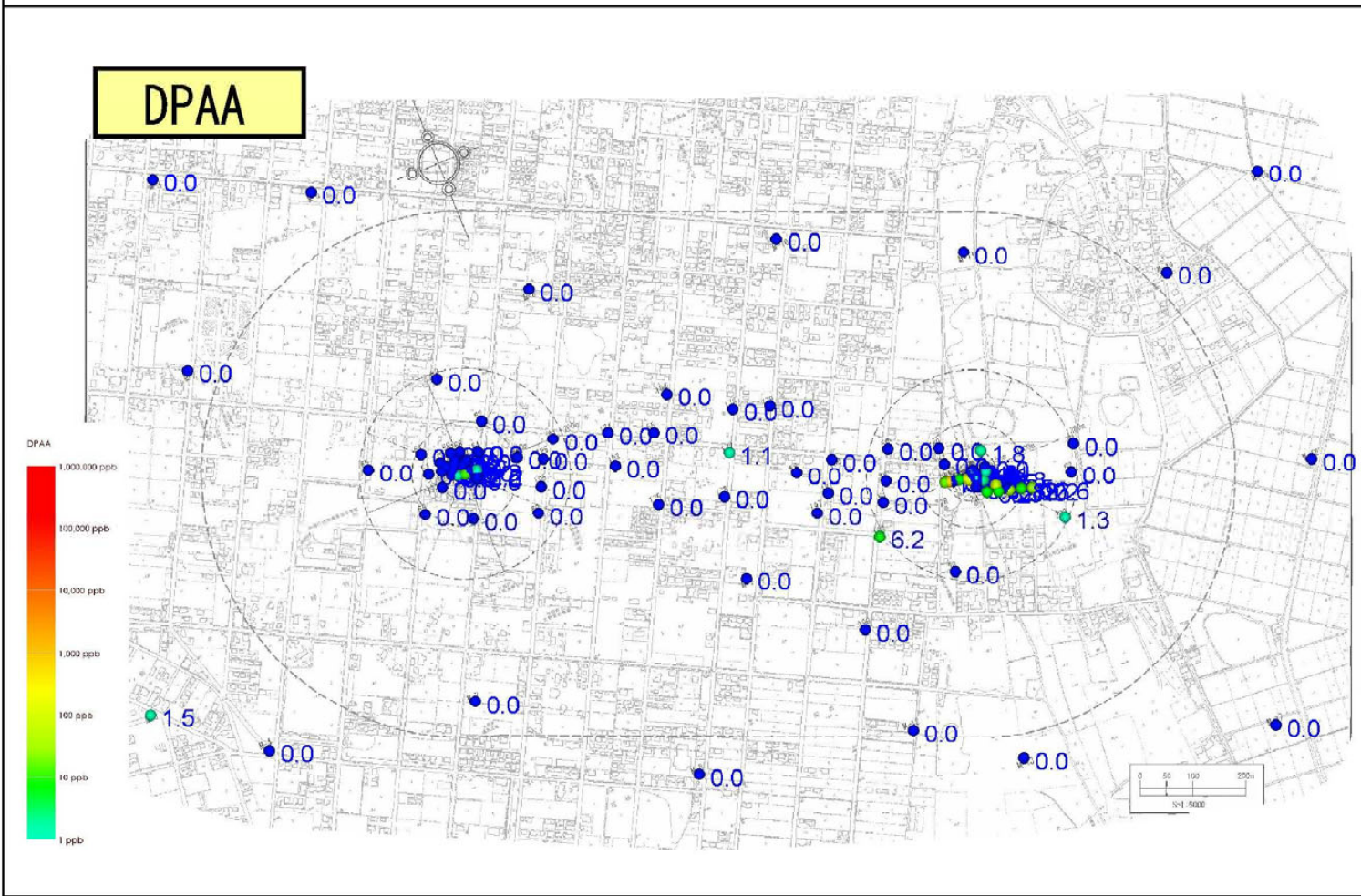


図5.3.30 2005年冬季(2~3月)ABトラック地下水DPAA・PAA・PMAA汚染状況図(深度20m) 単位:ppb(ヒ素換算値)

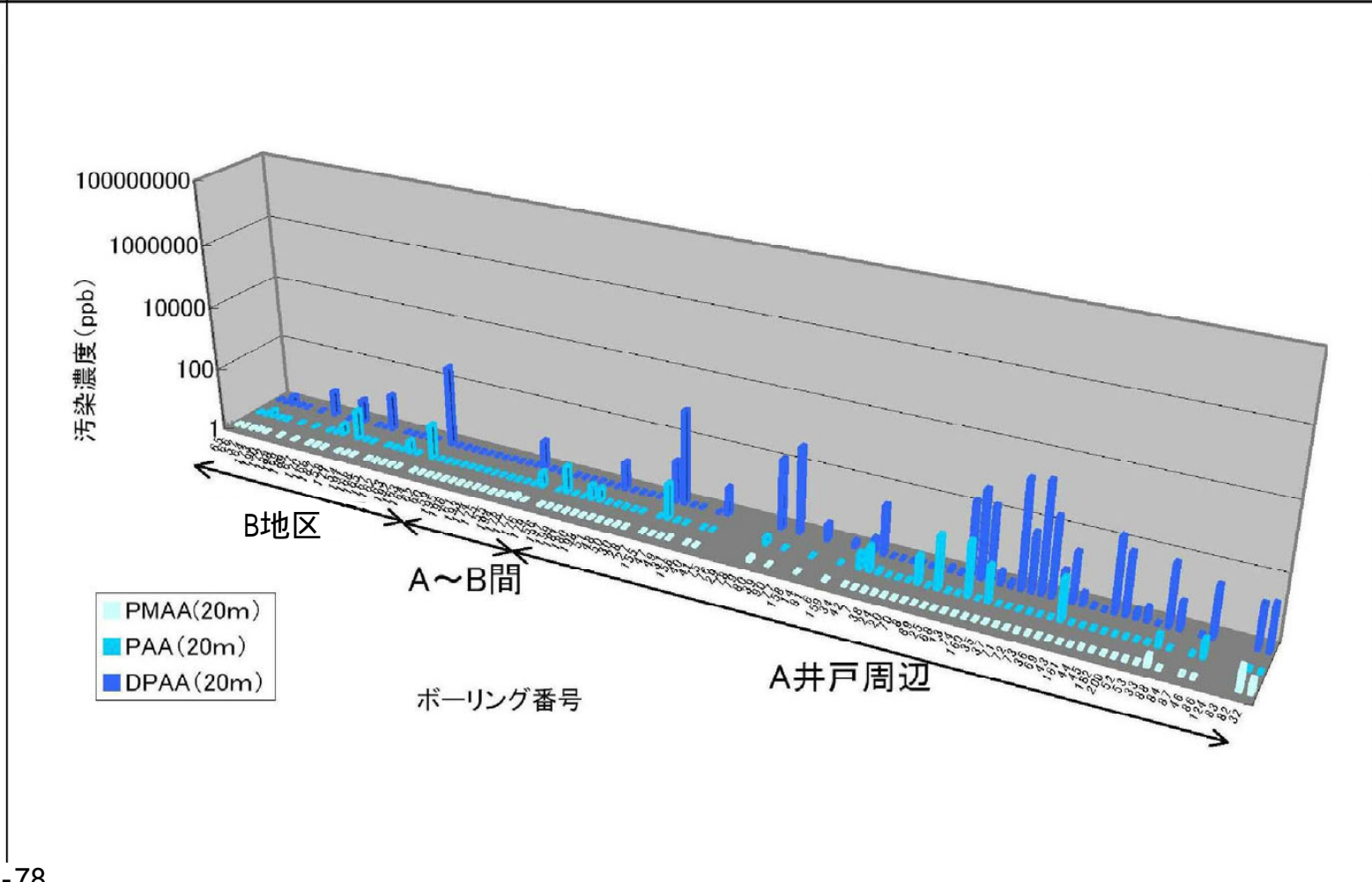
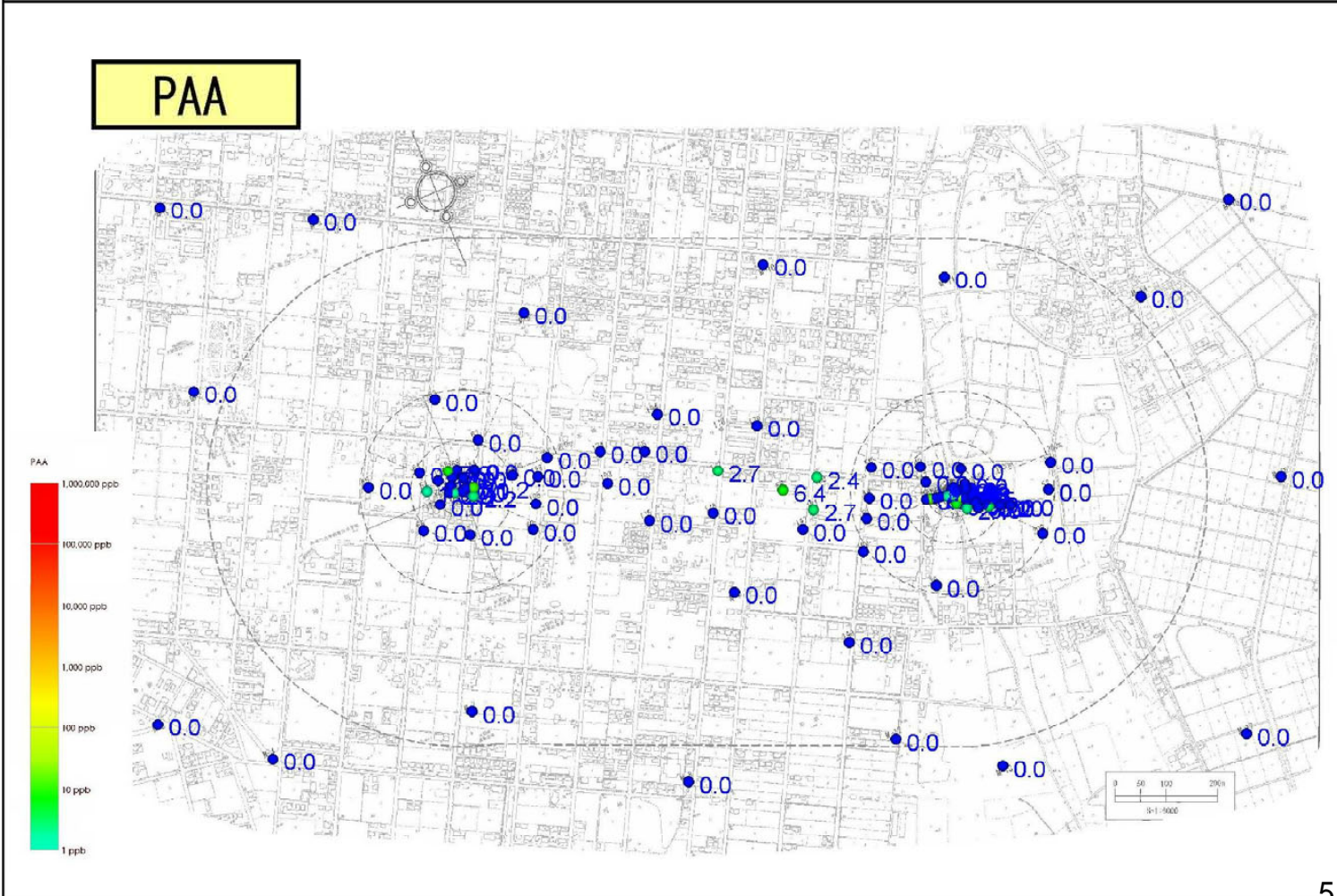
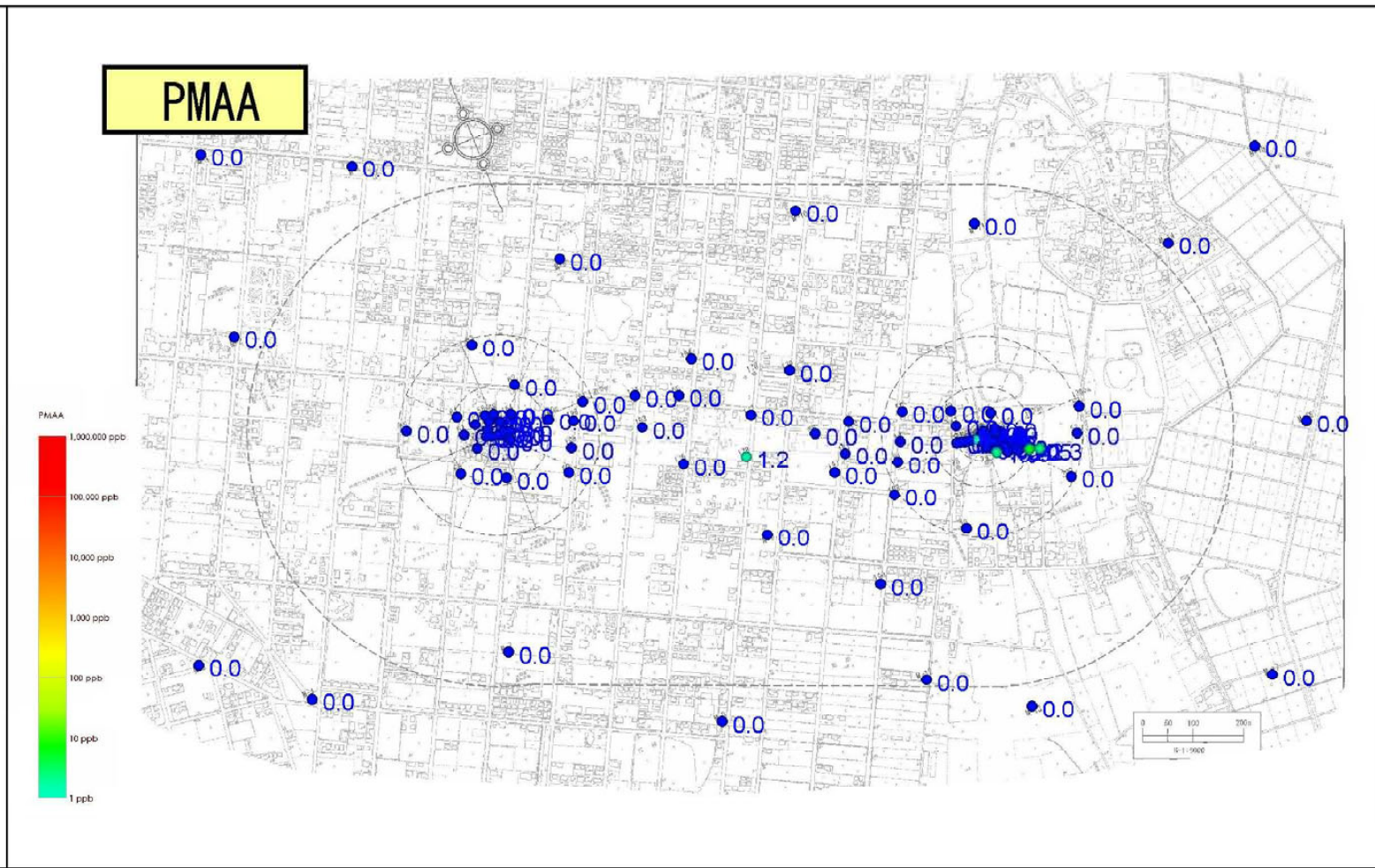
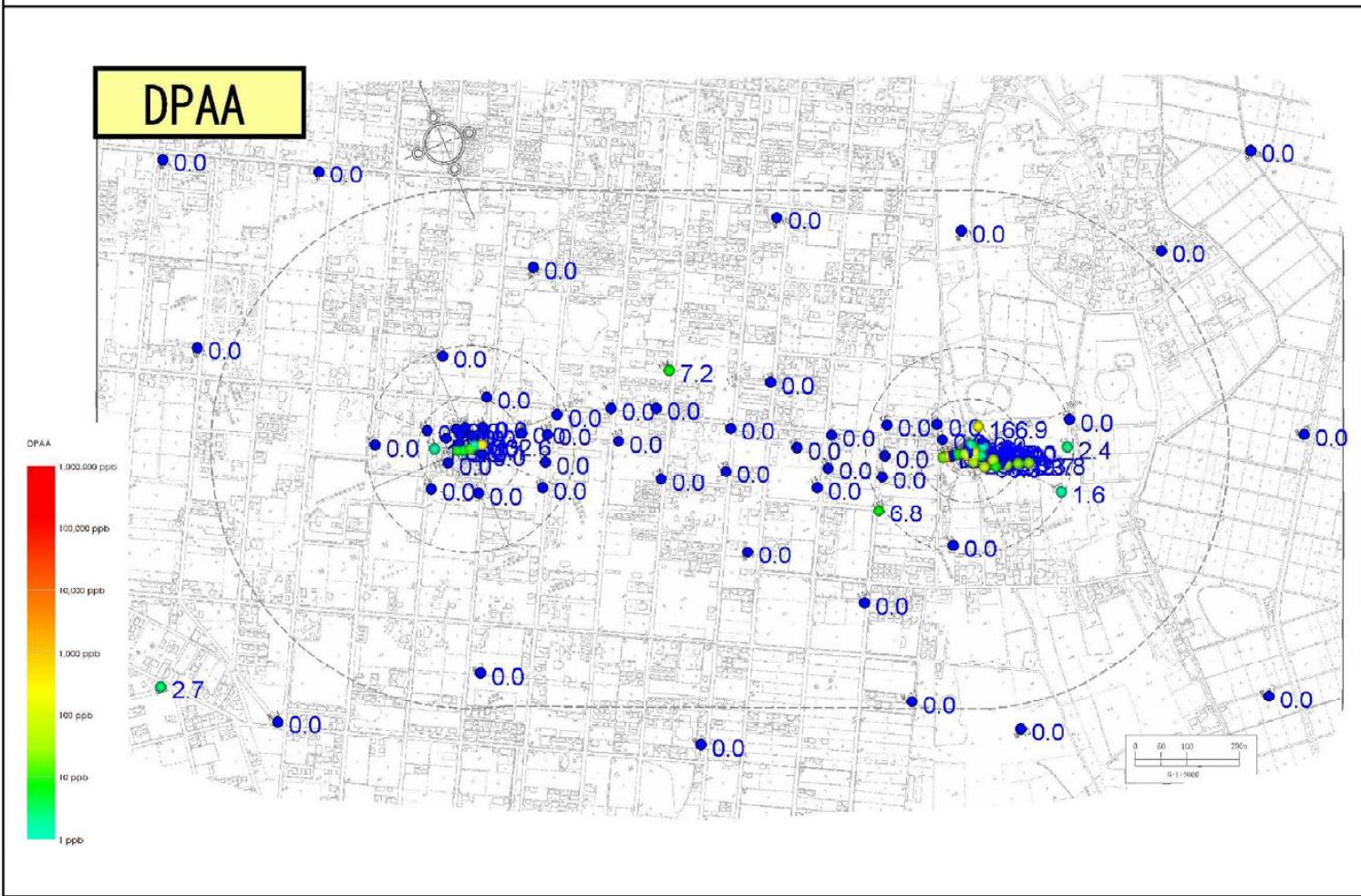
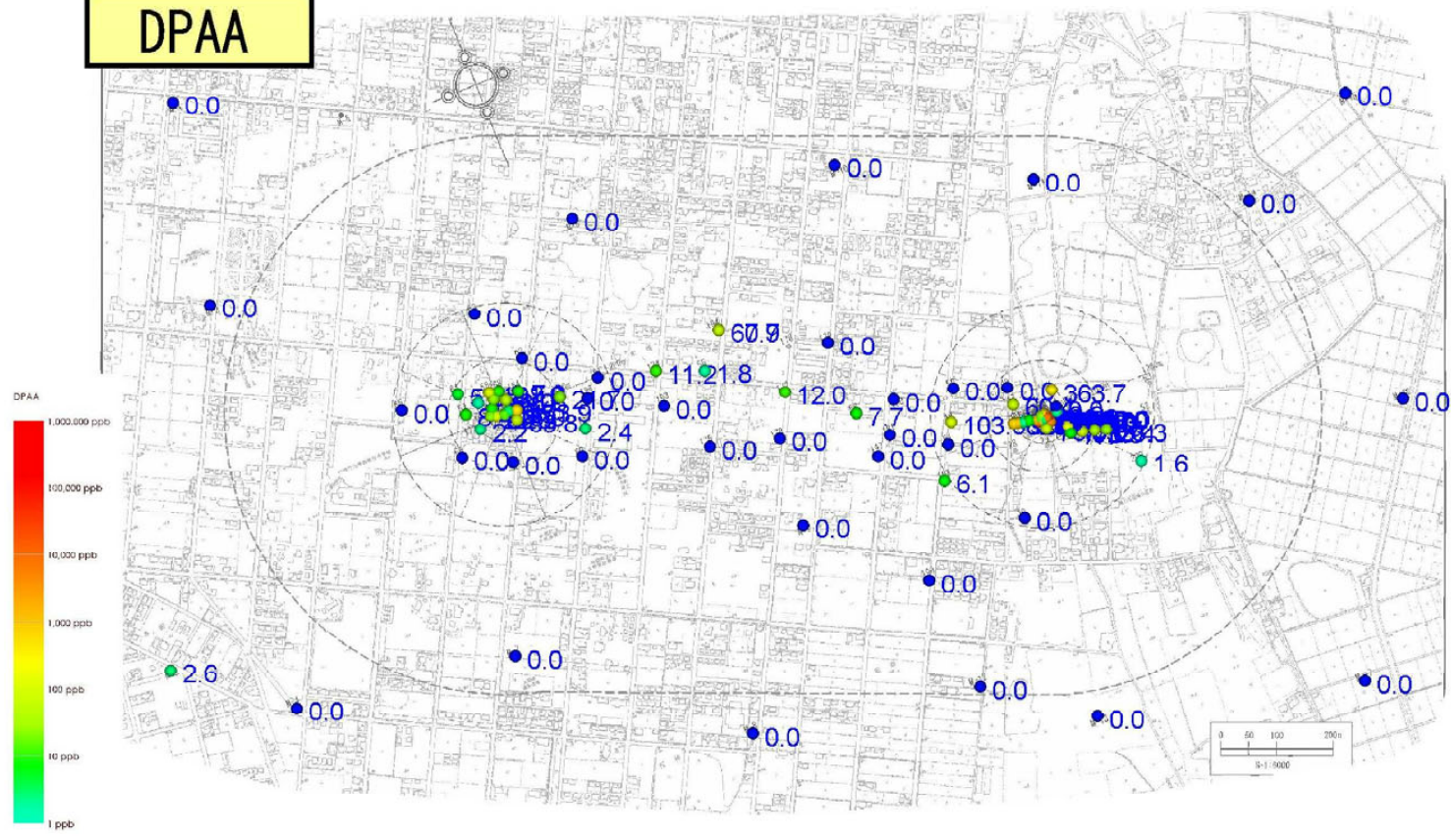
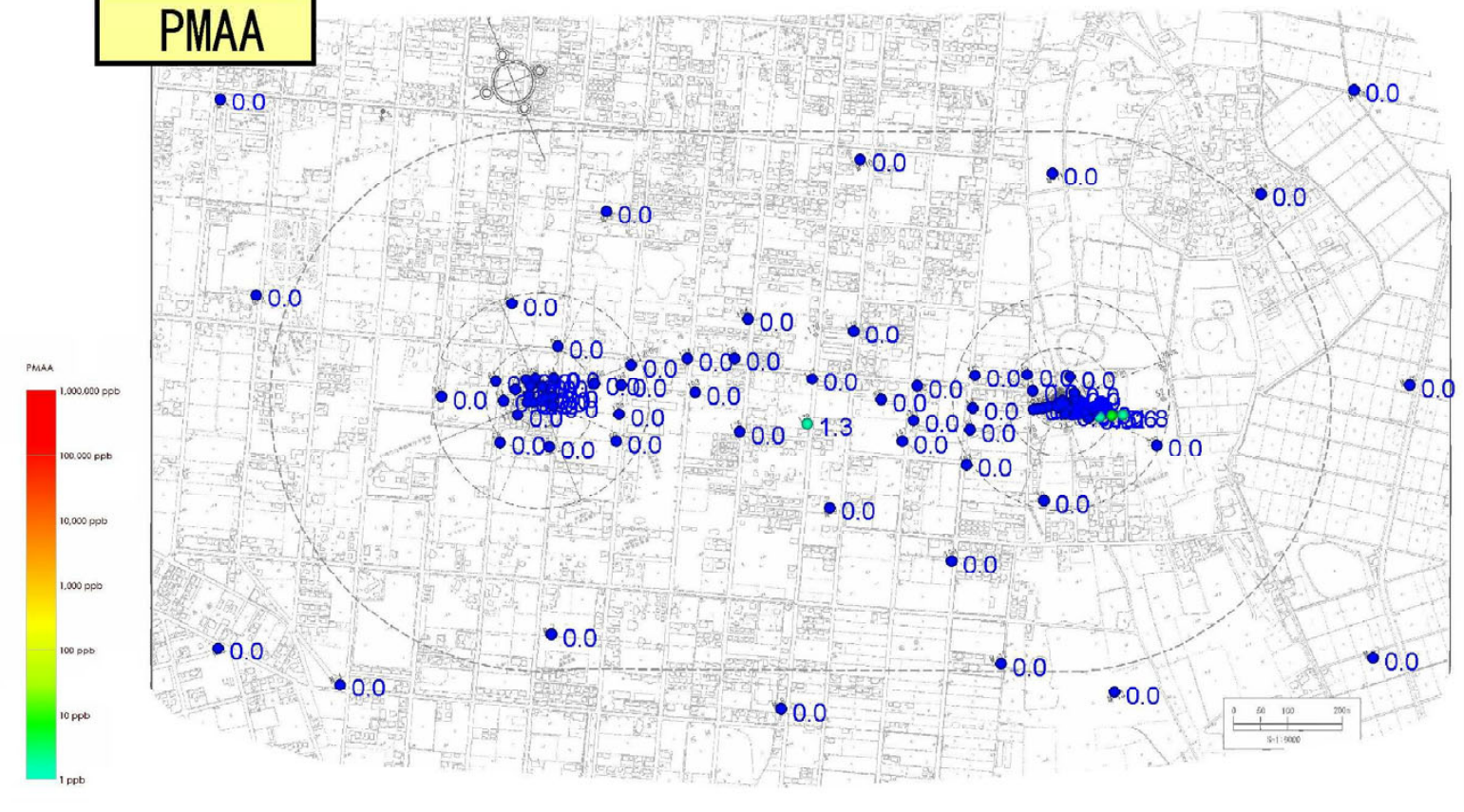


図5.3.31 2005年冬季(2~3月)ABトラック地下水DPAA・PAA・PMAA汚染状況図(深度30m) 単位:ppb(ヒ素換算値)

DPAA



PMAA



PAA

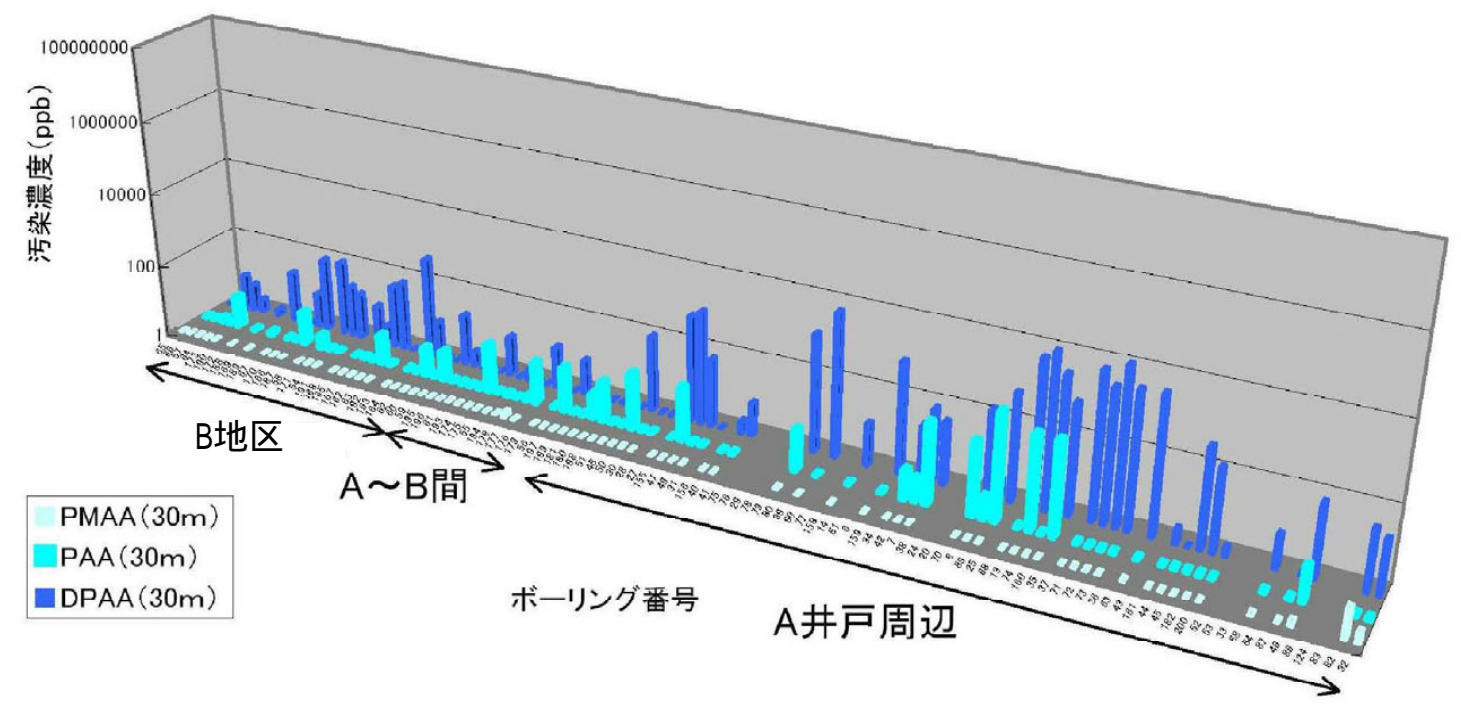
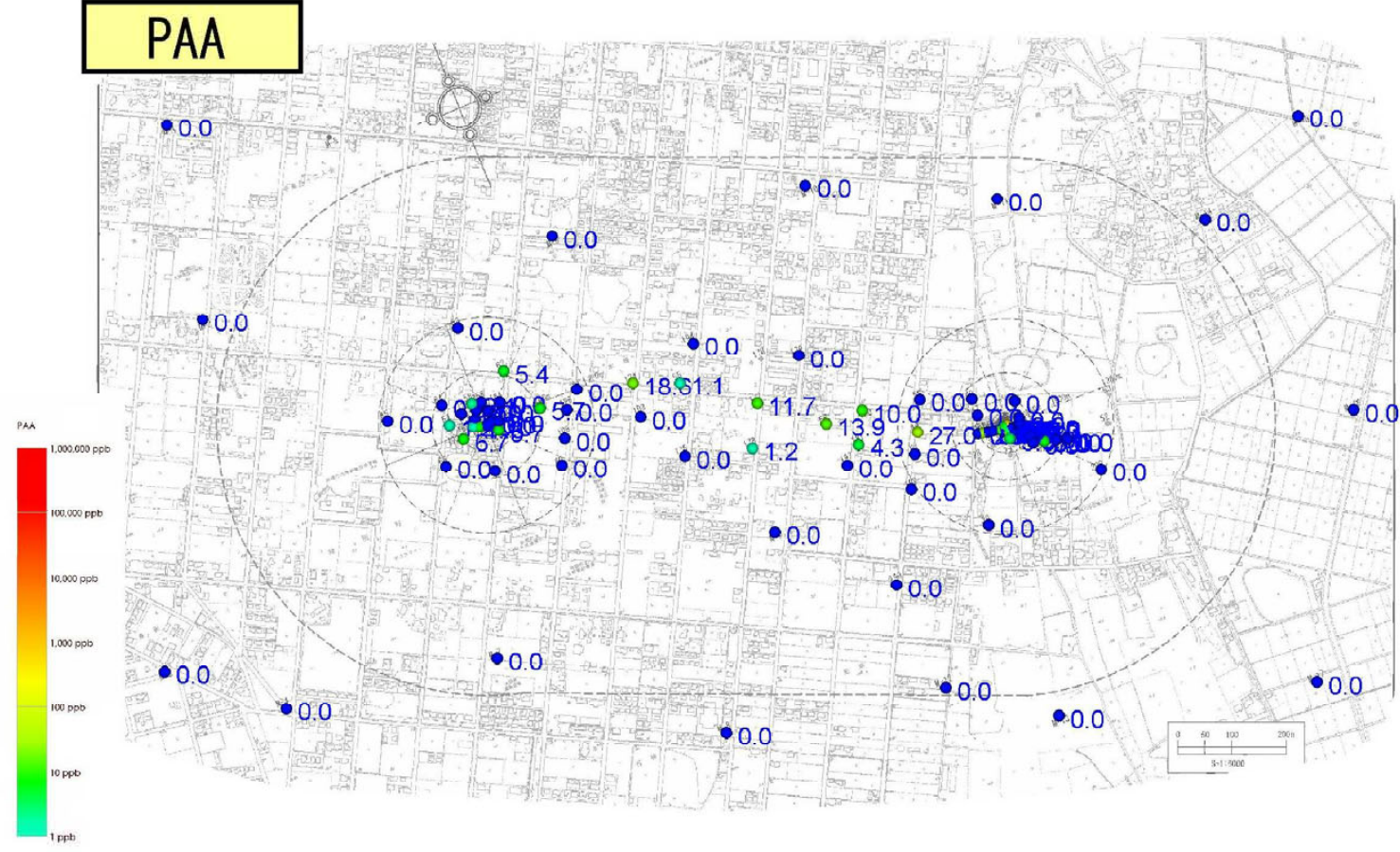


図5.3.32 2005年冬季(2~3月)A井戸周辺地下水DPAA・PAA・PMAA汚染状況図(深度10m) 単位:ppb(ヒ素換算値)

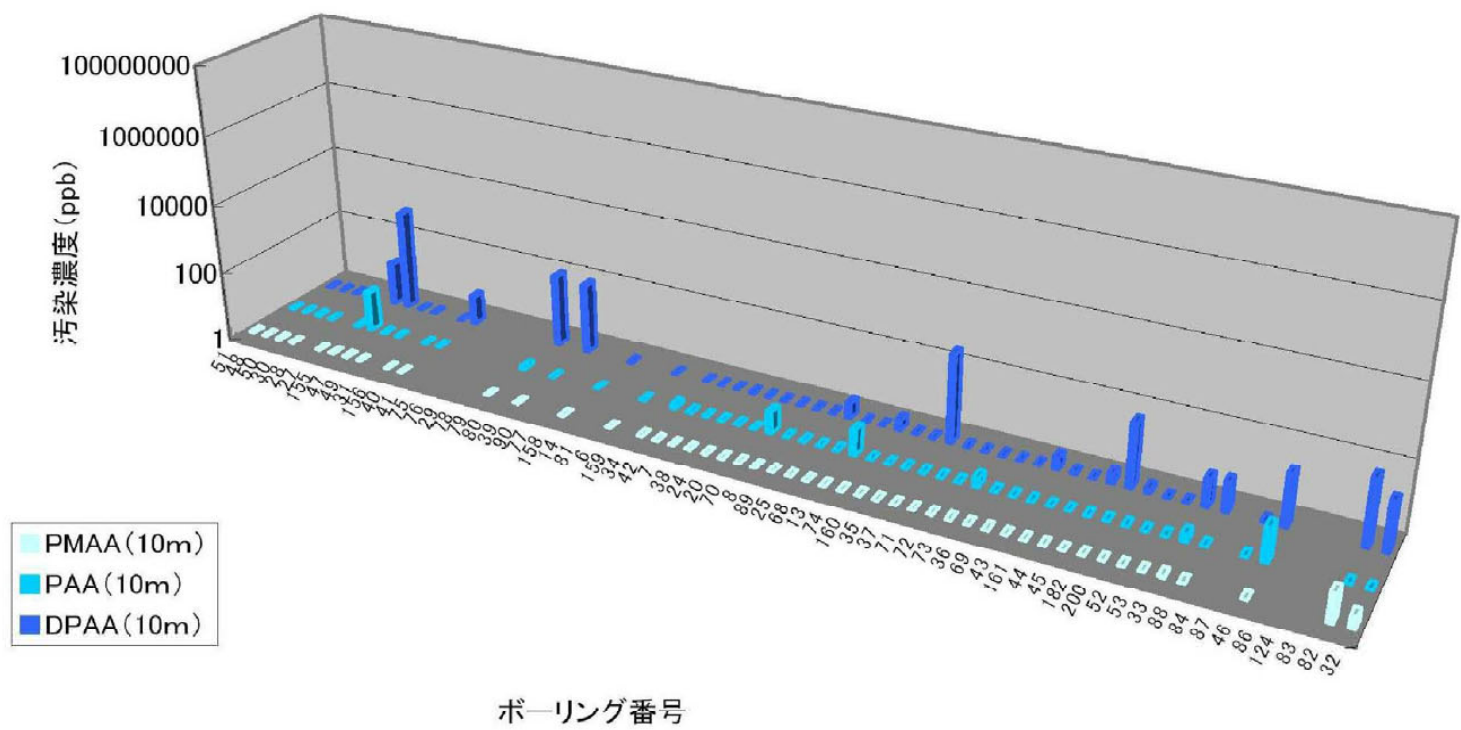
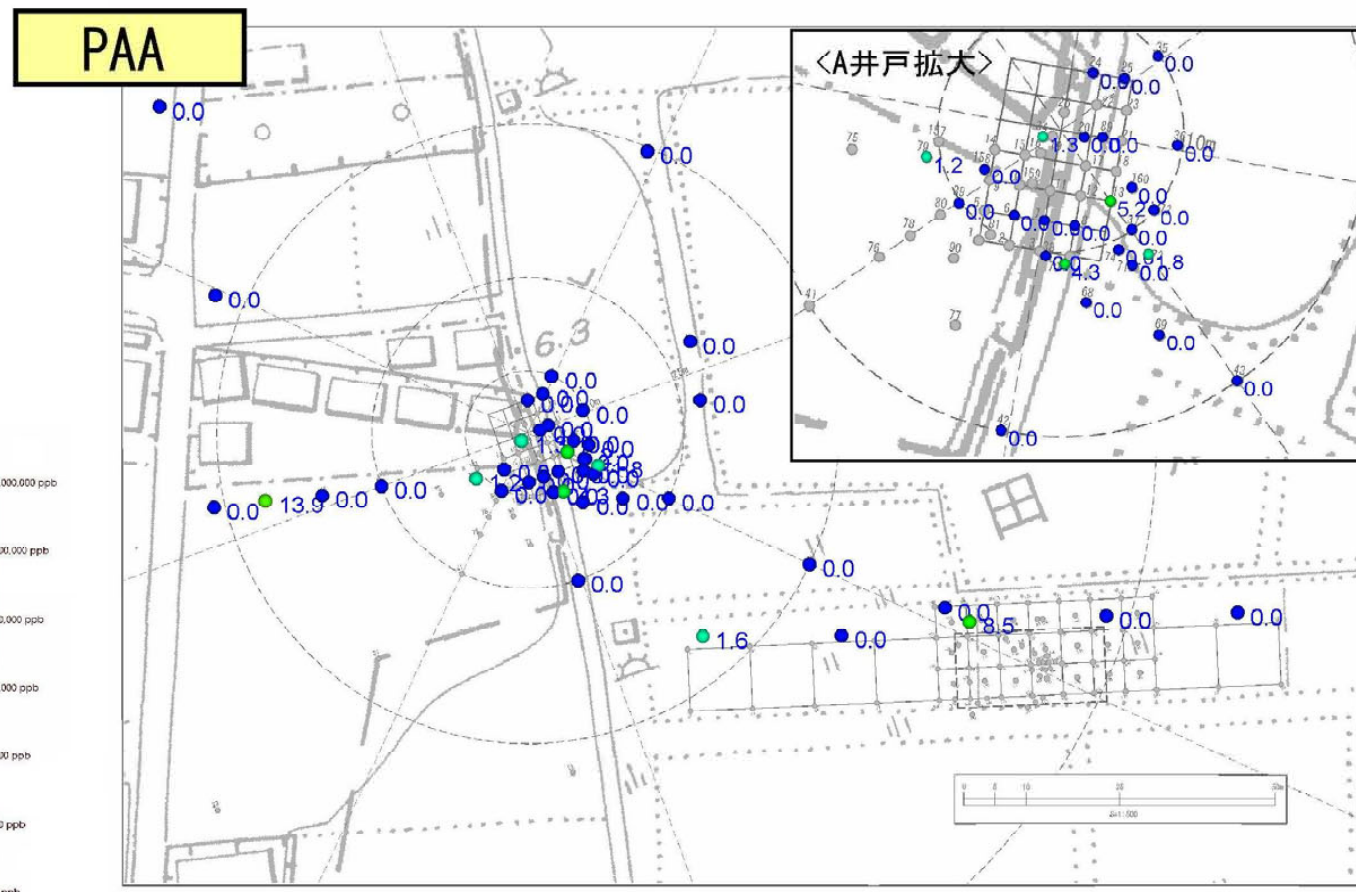
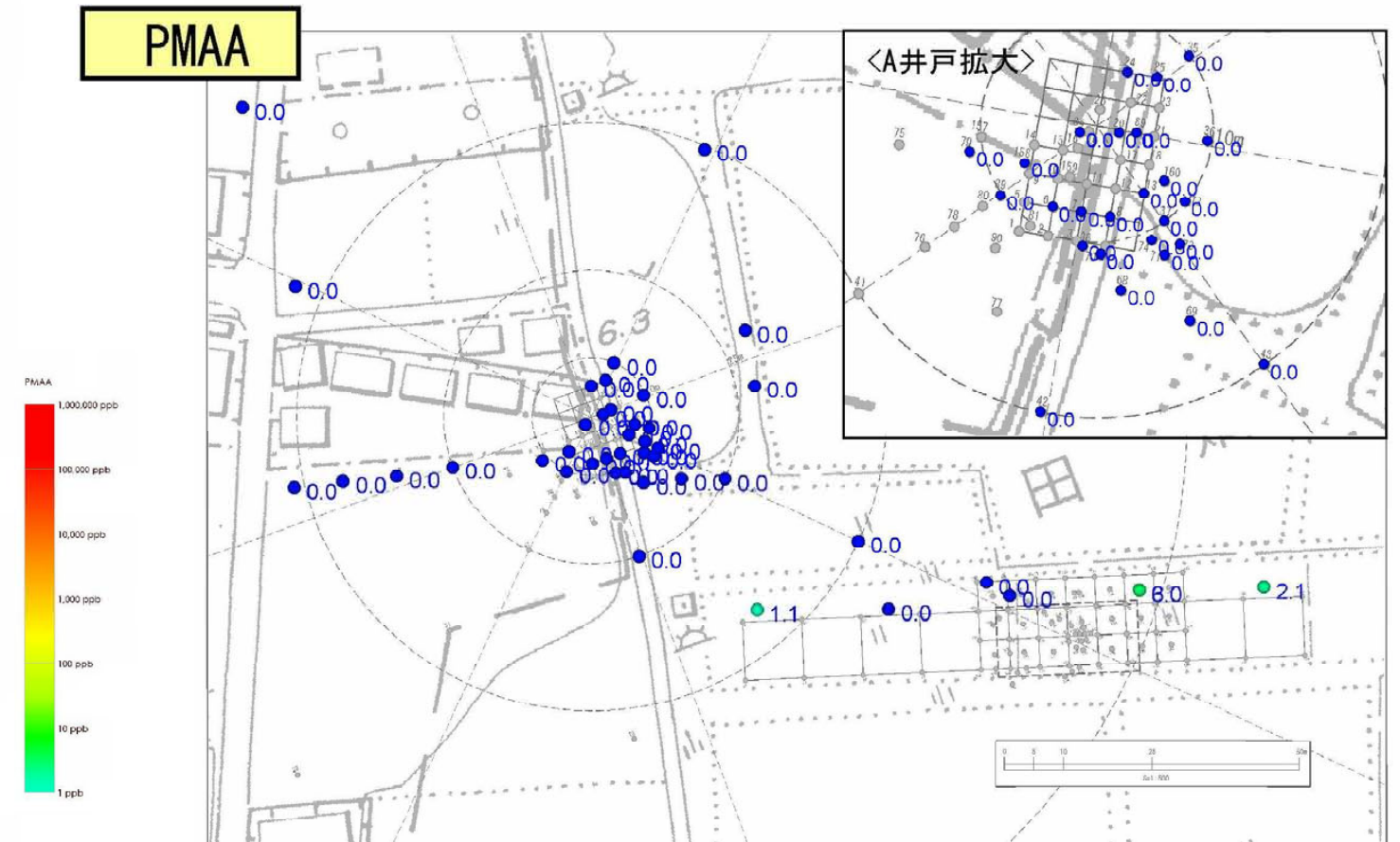
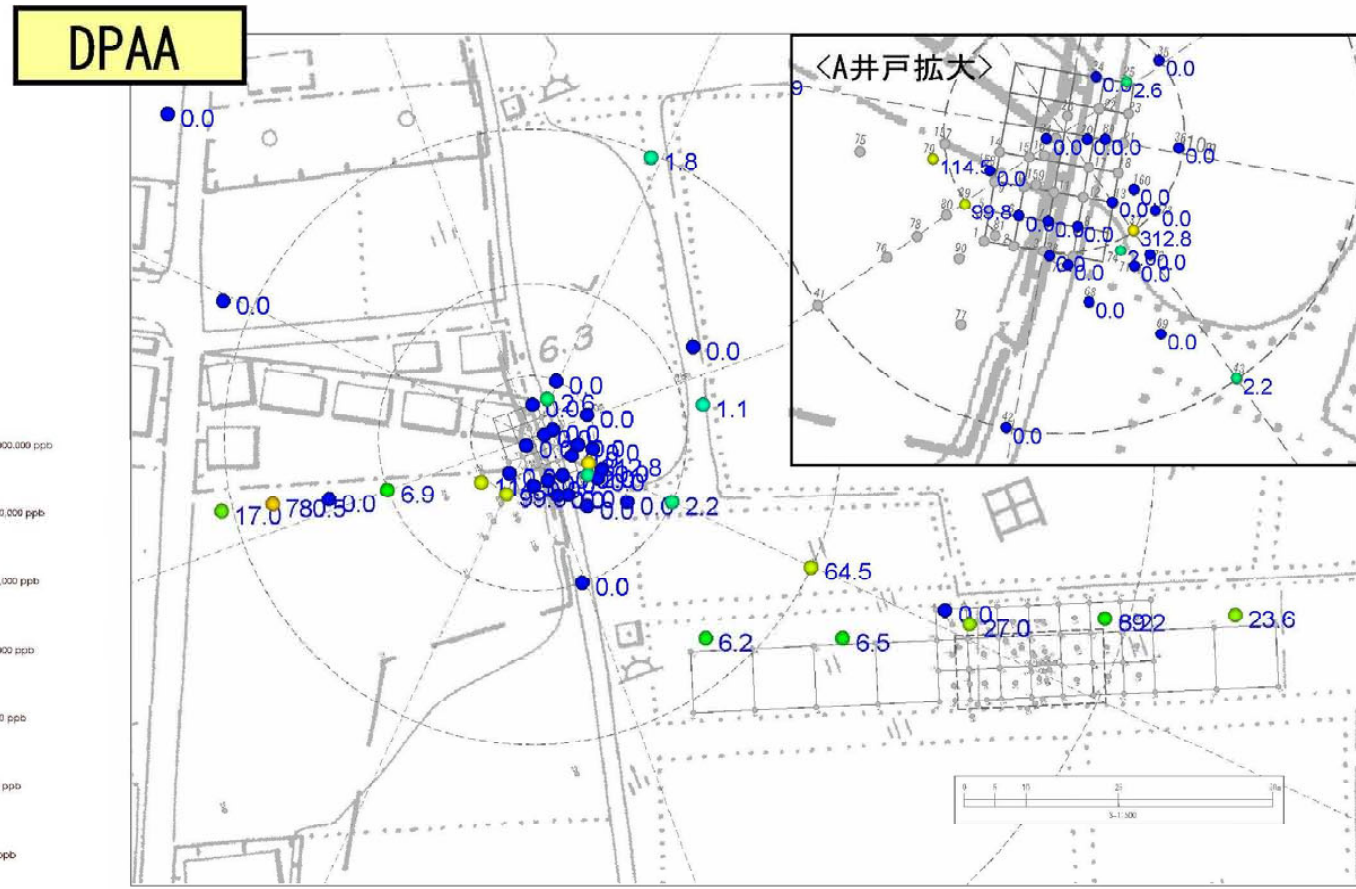


図5.3.33 2005年冬季(2~3月)A井戸周辺地下水DPAA・PAA・PMAA汚染状況図(深度20m) 単位:ppb(ヒ素換算値)

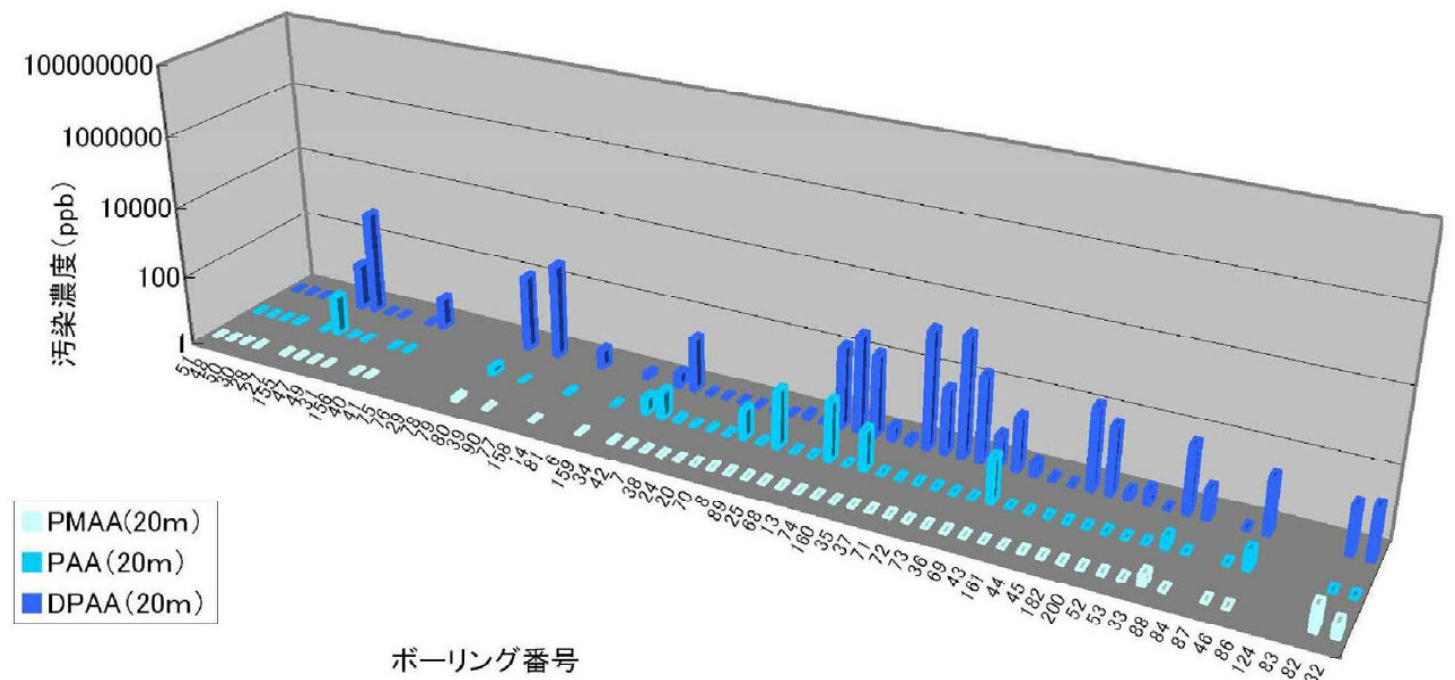
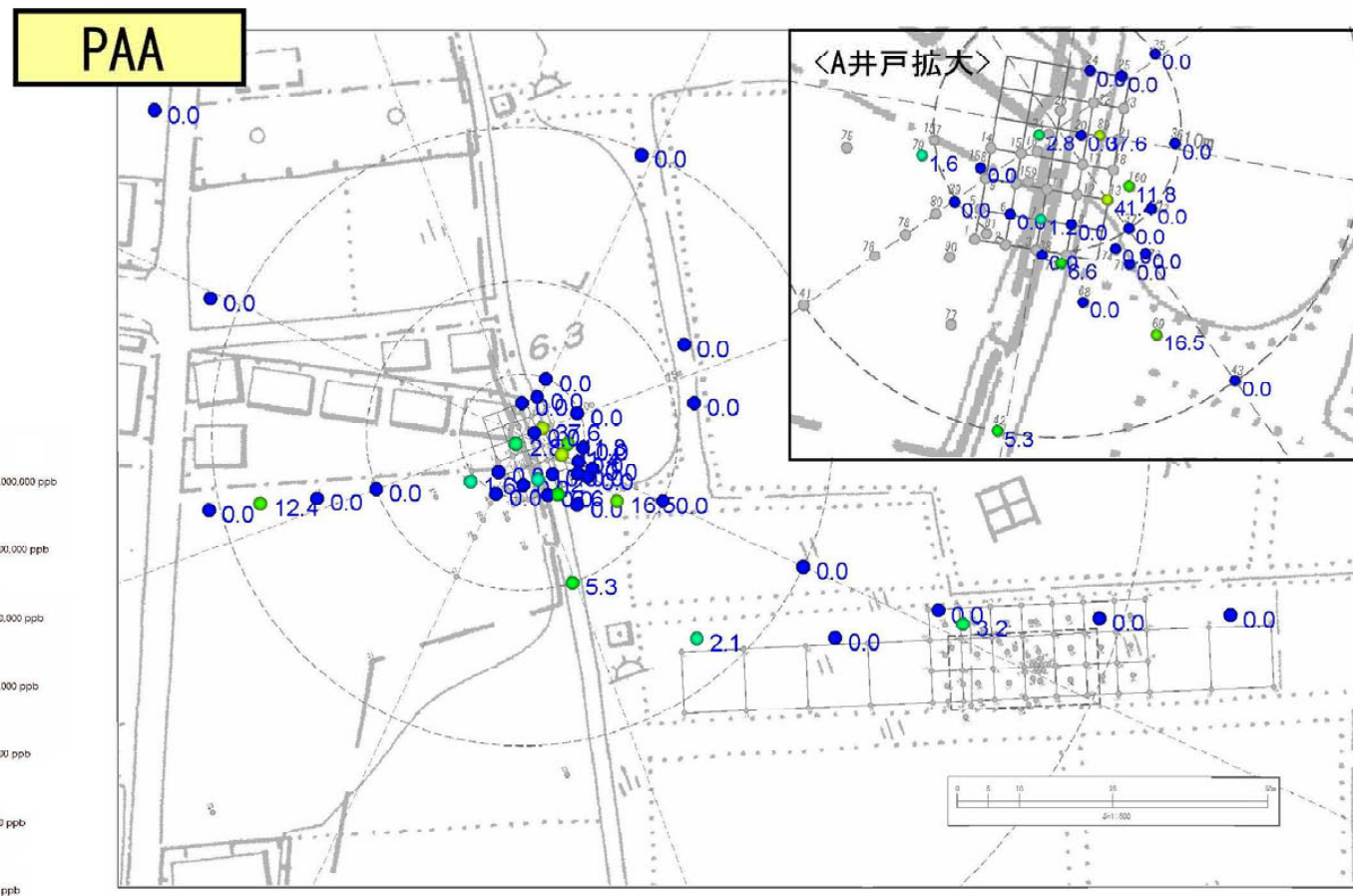
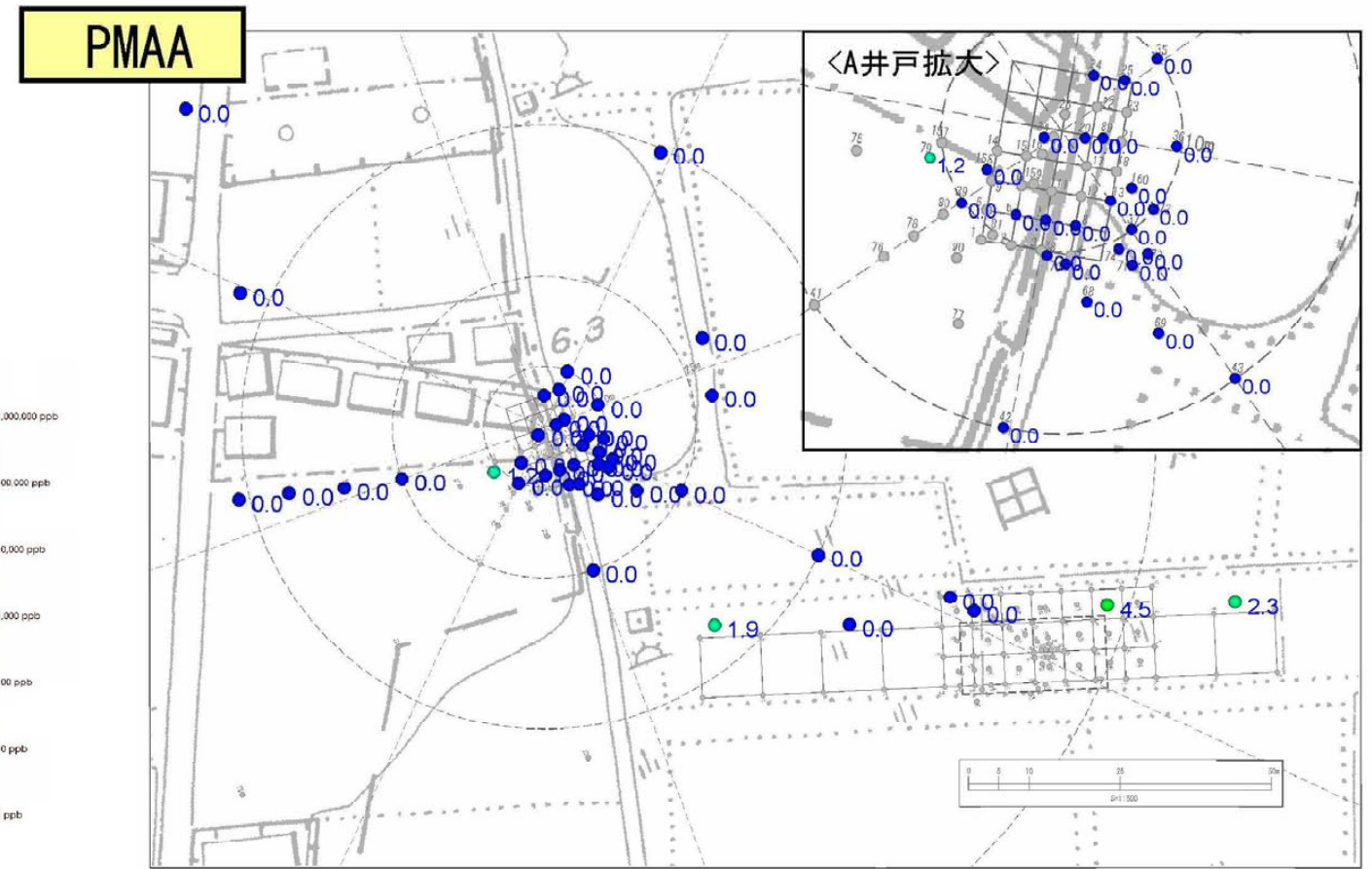
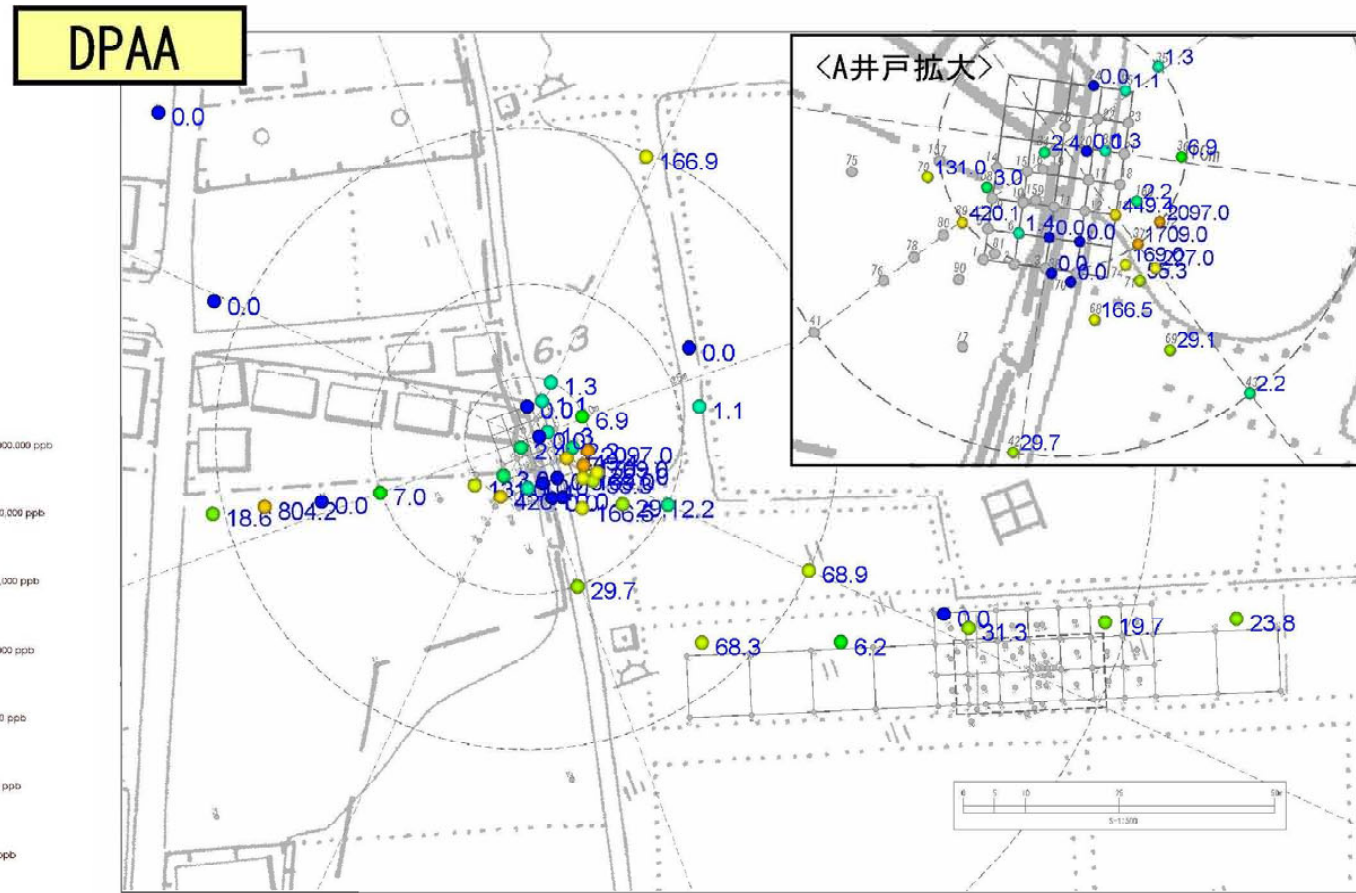


図5.3.34 2005年冬季(2~3月)A井戸周辺地下水DPAA・PAA・PMAA汚染状況図(深度30m) 単位:ppb(ヒ素換算値)

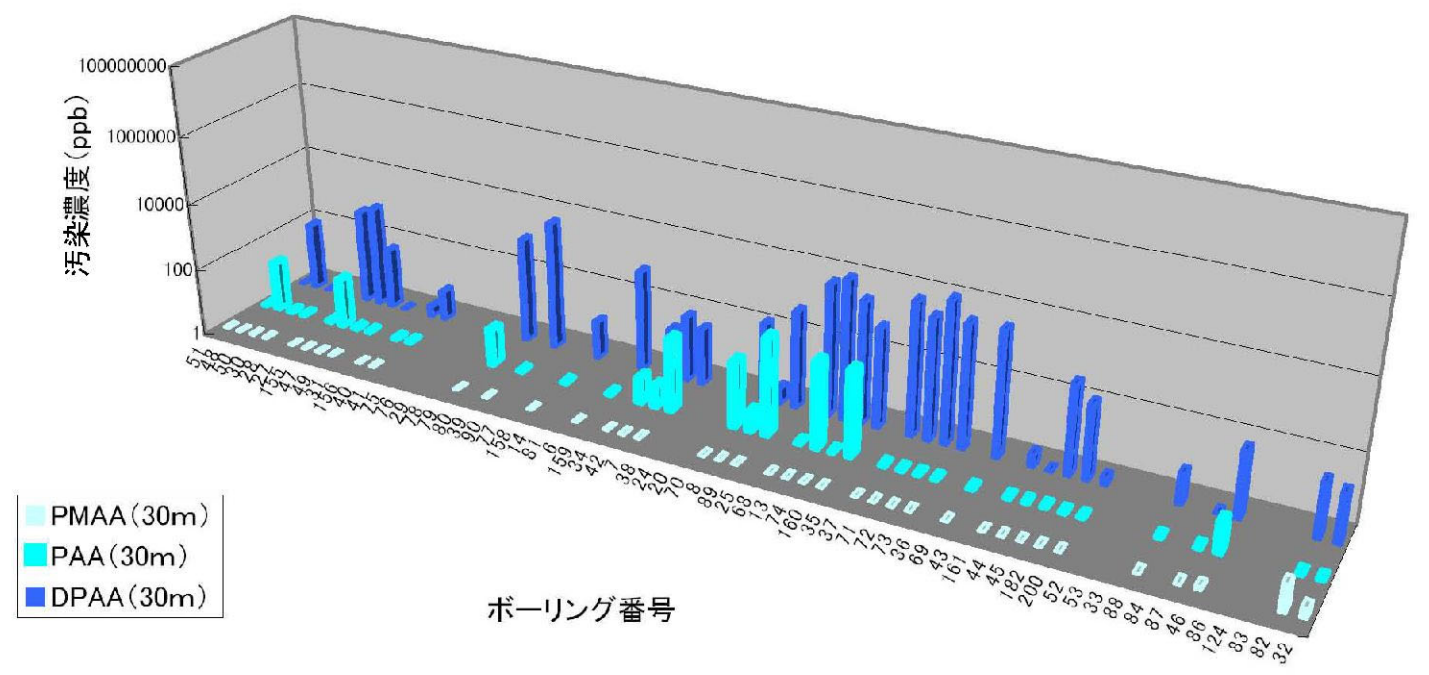
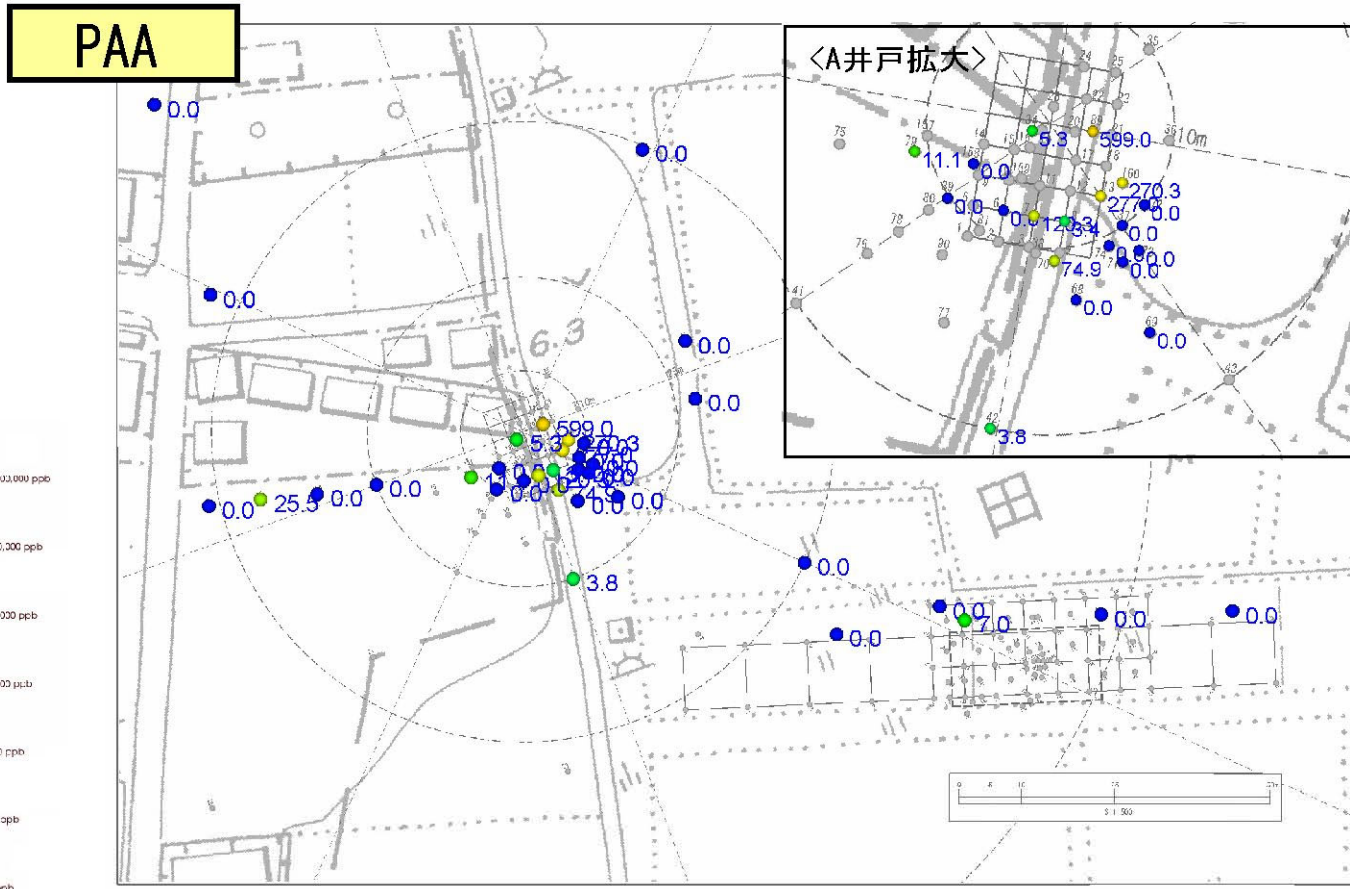
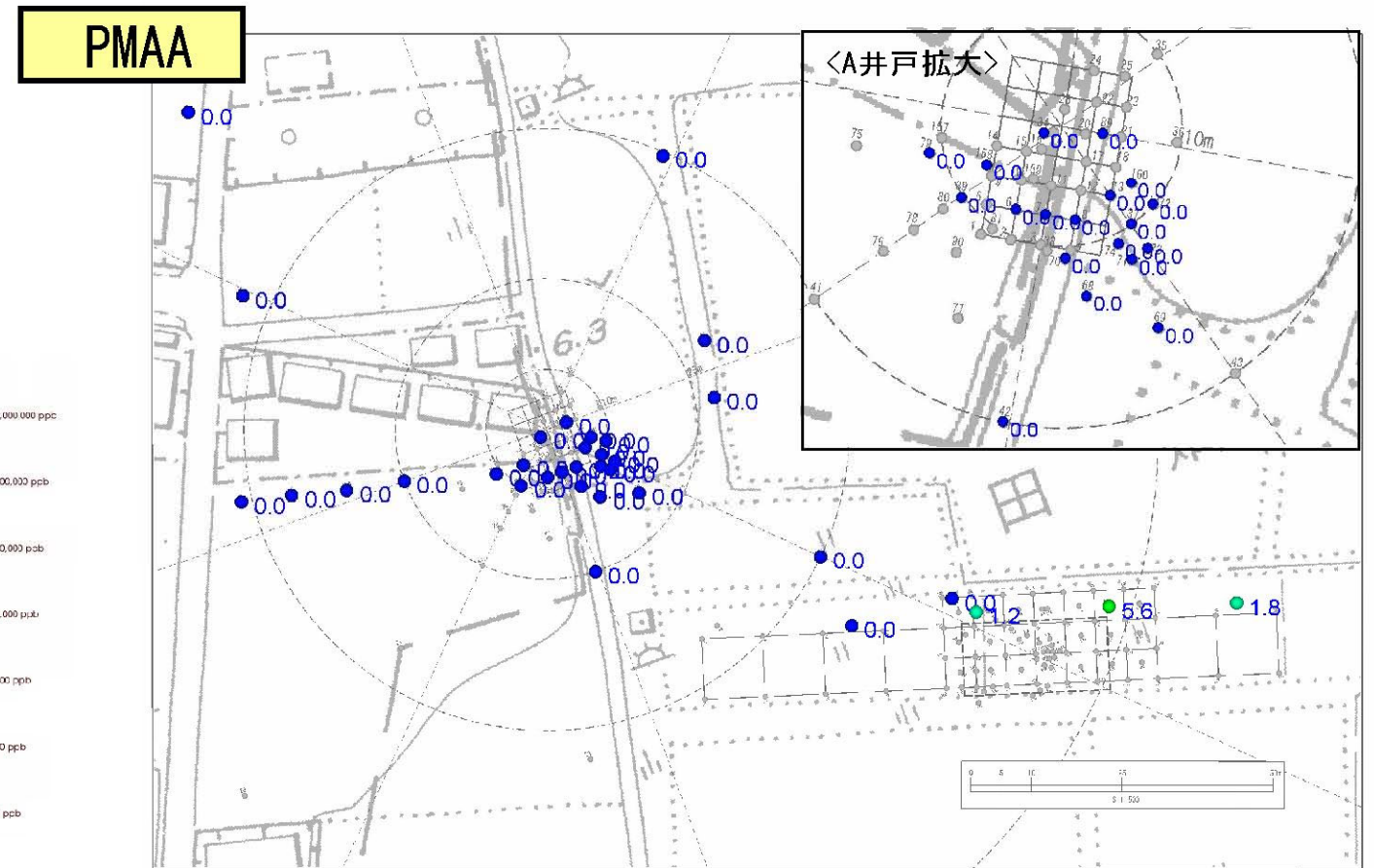
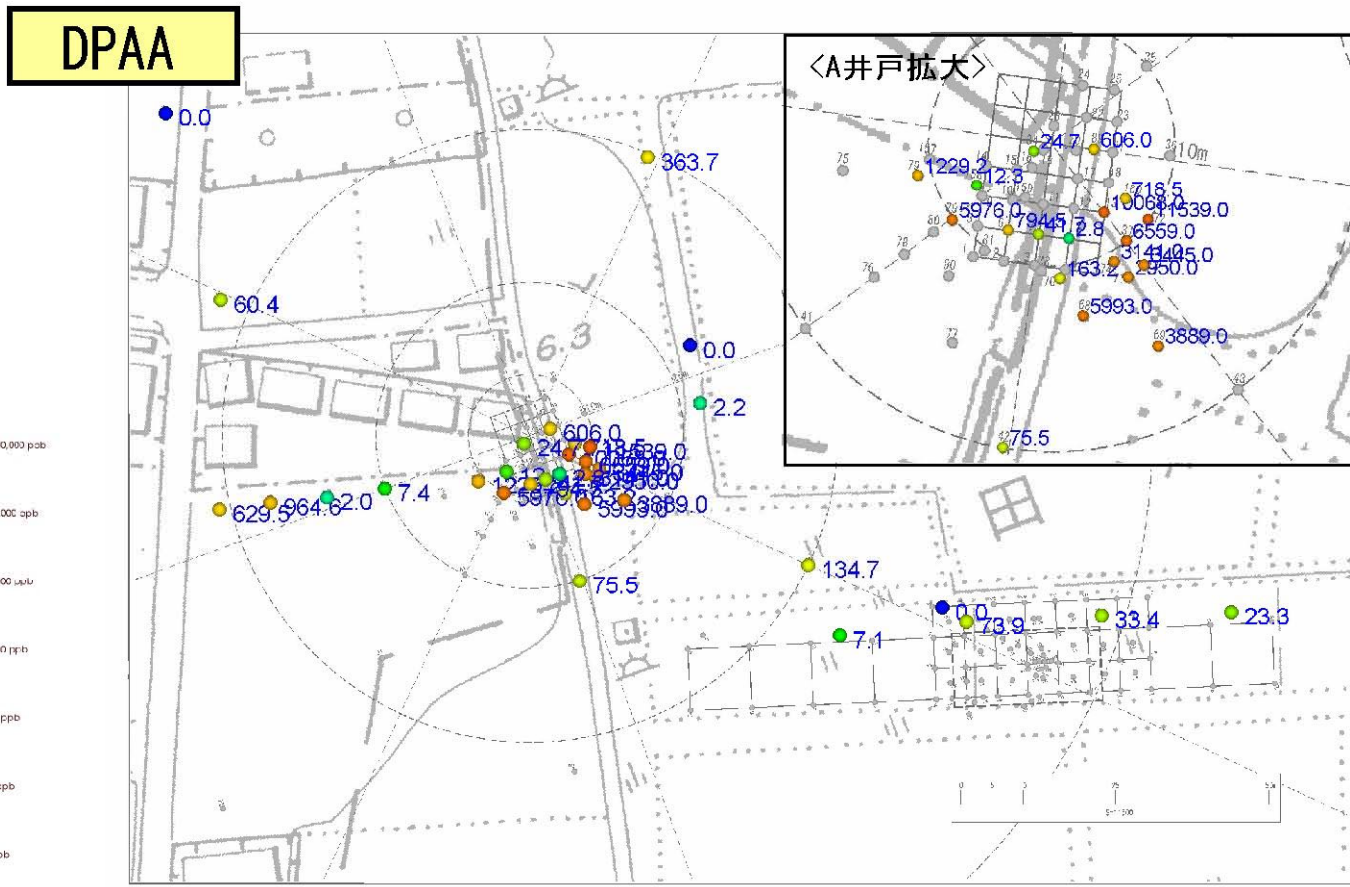


図5.3.35 2005年冬季(2~3月)B地区地下水DPAA・PAA・PMAA汚染状況図(深度10m) 単位:ppb(ヒ素換算値)

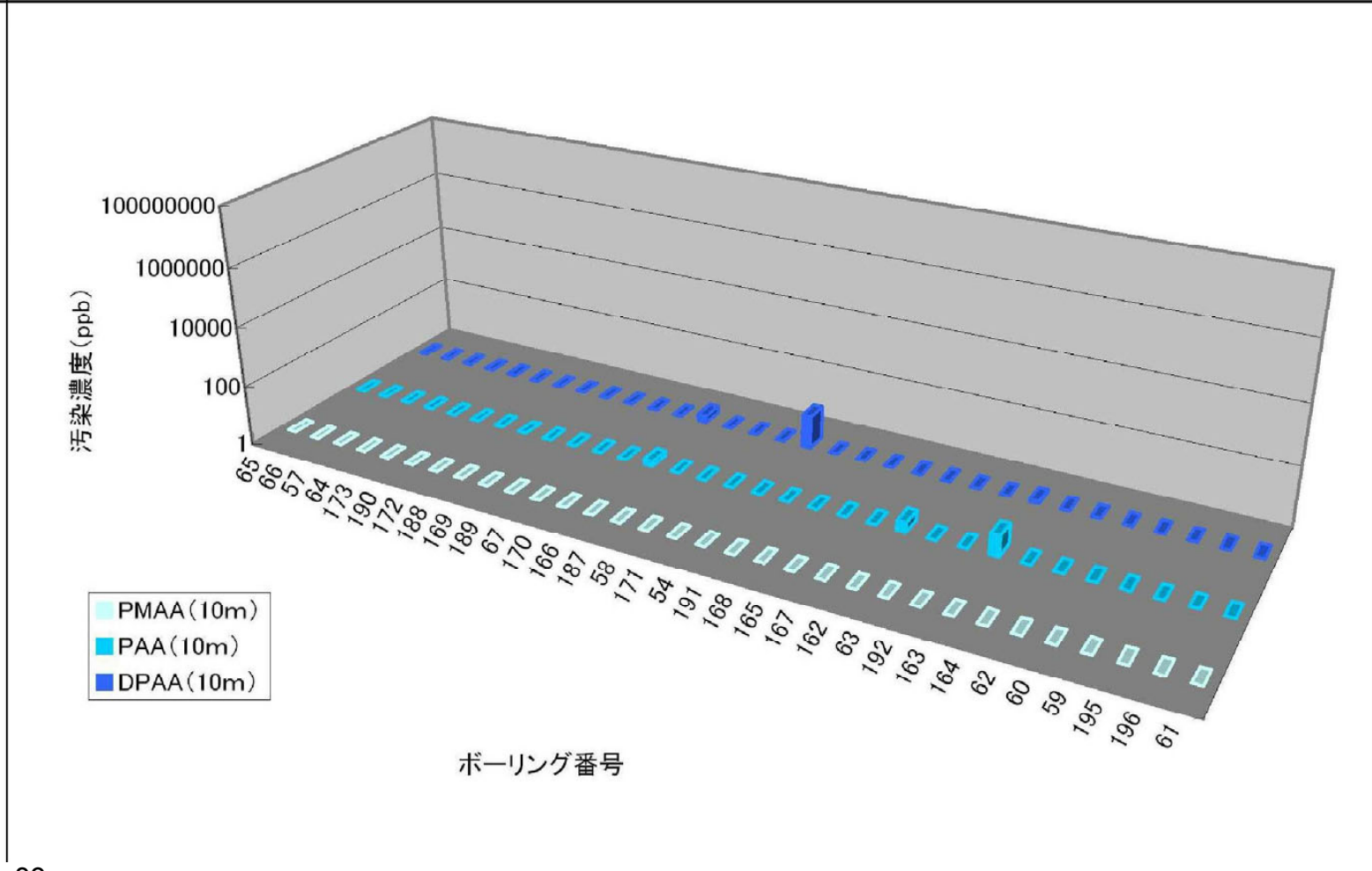
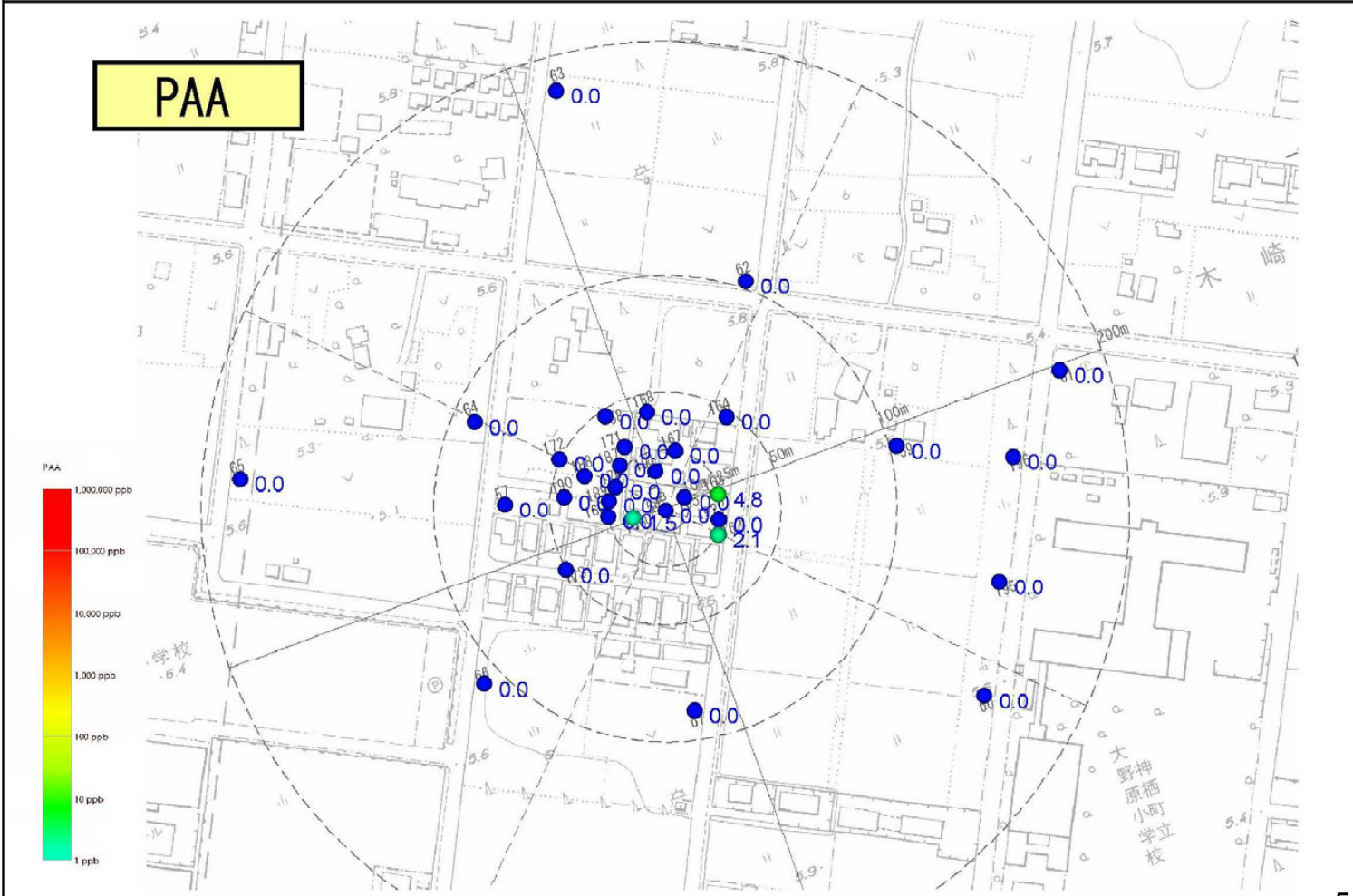
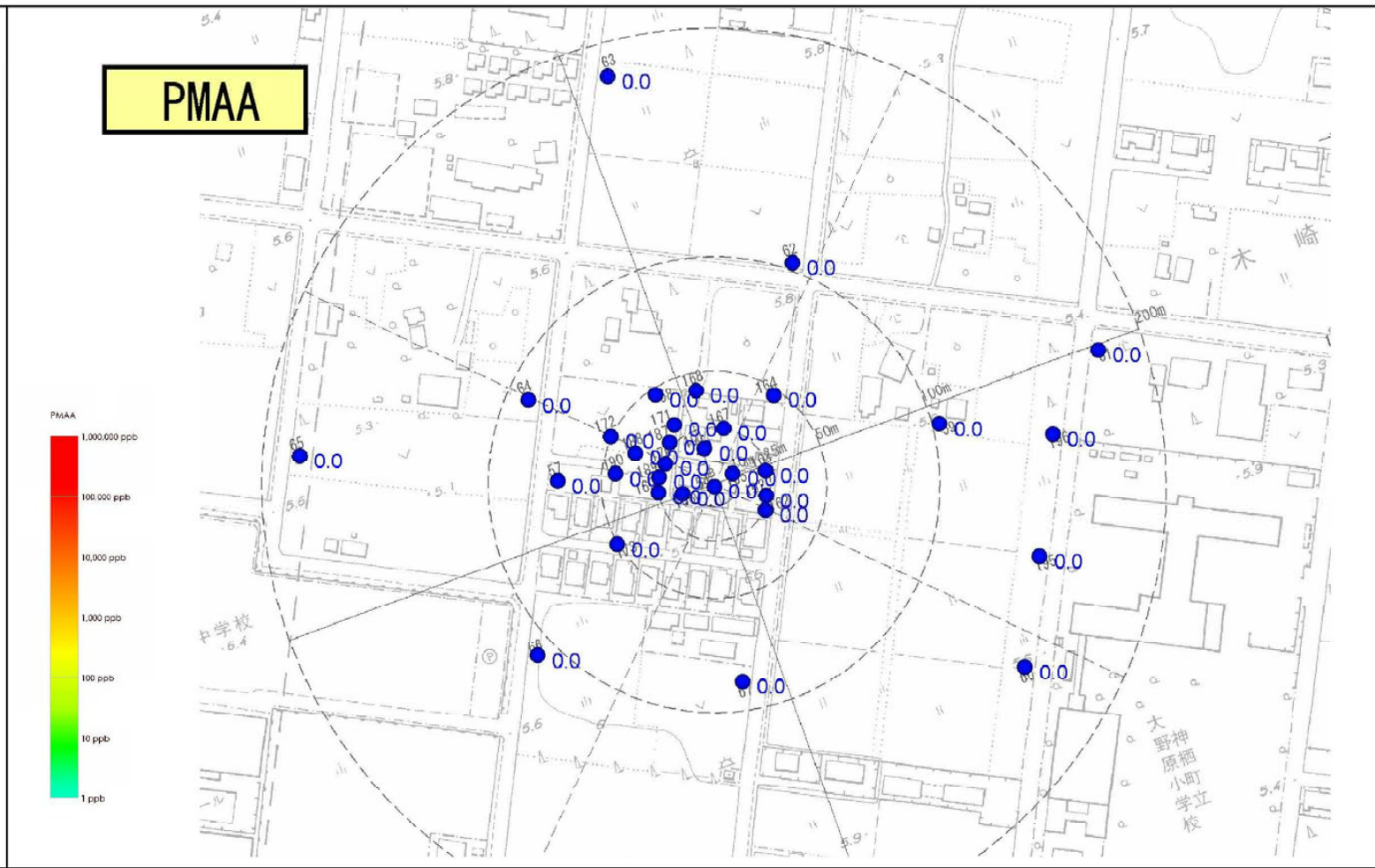
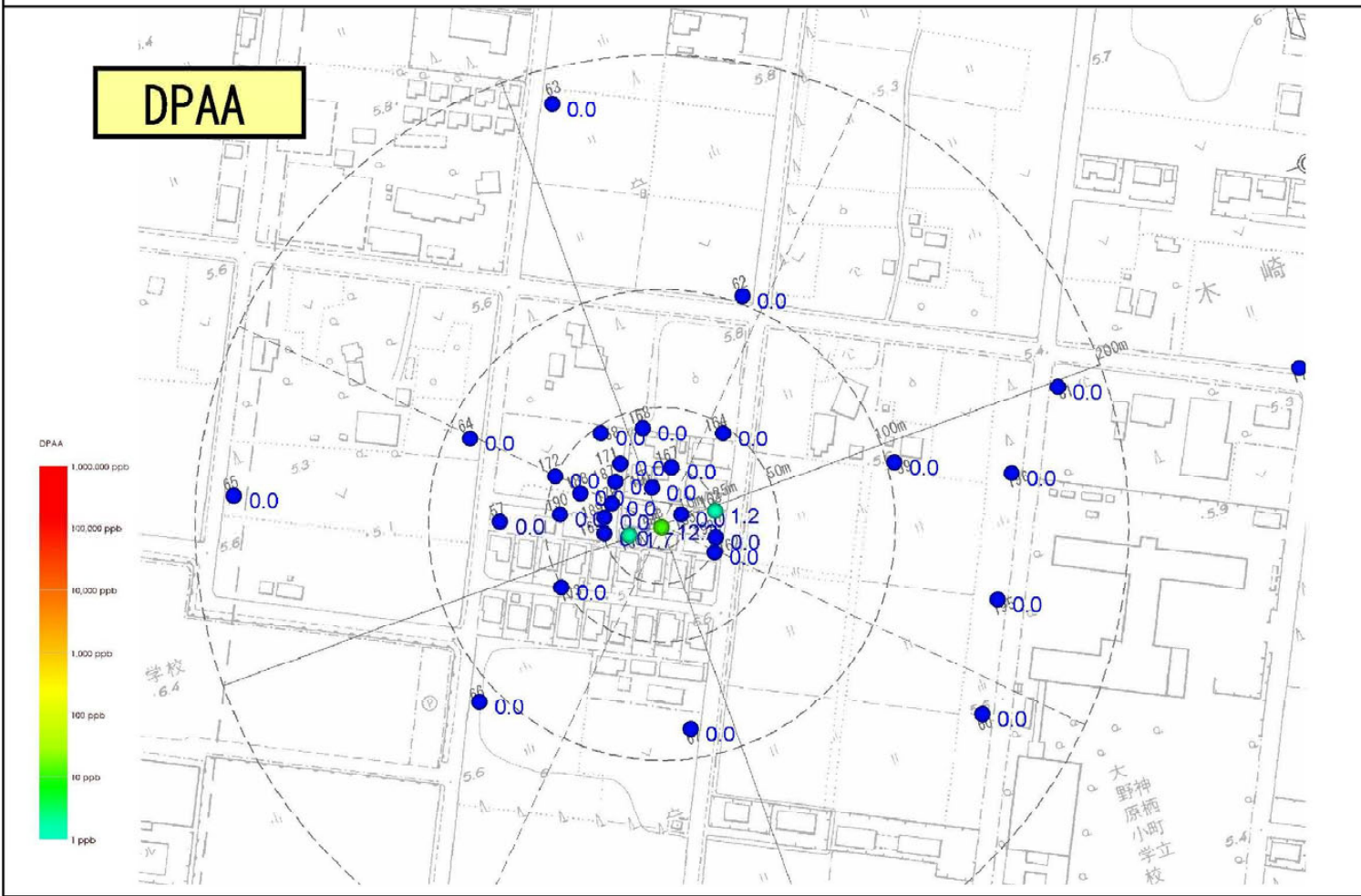


図5.3.36 2005年冬季(2~3月)B地区地下水DPAA・PAA・PMAA汚染状況図(深度20m) 単位:ppb(ヒ素換算値)

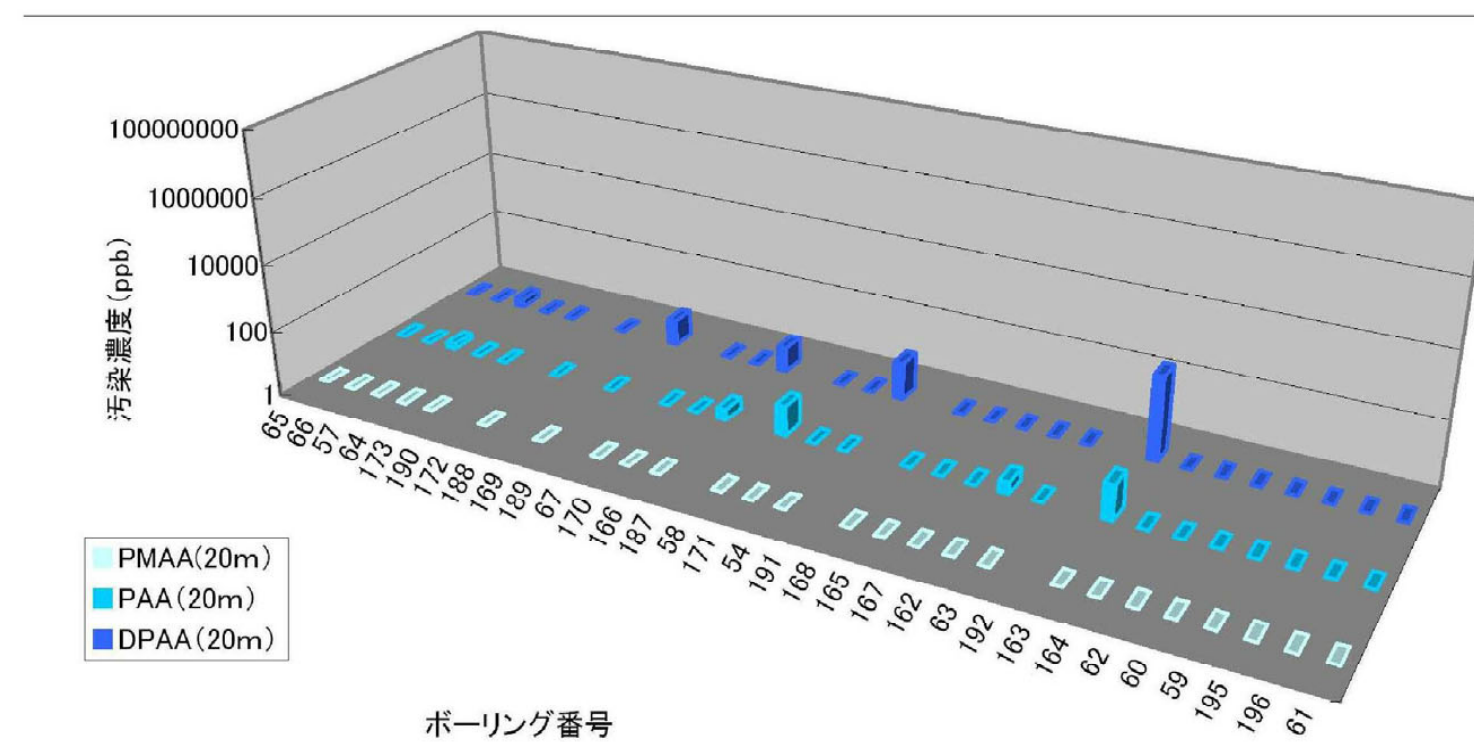
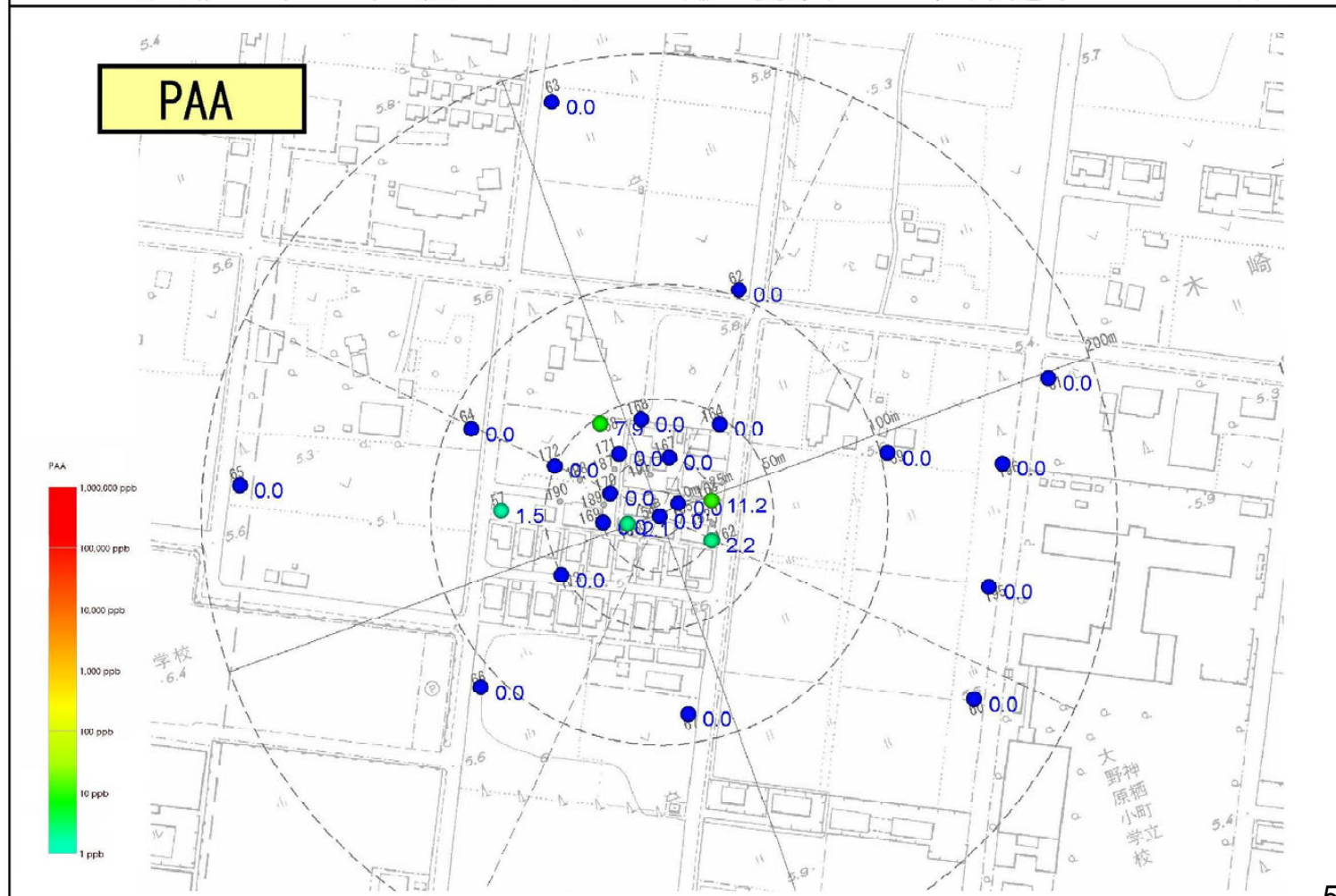
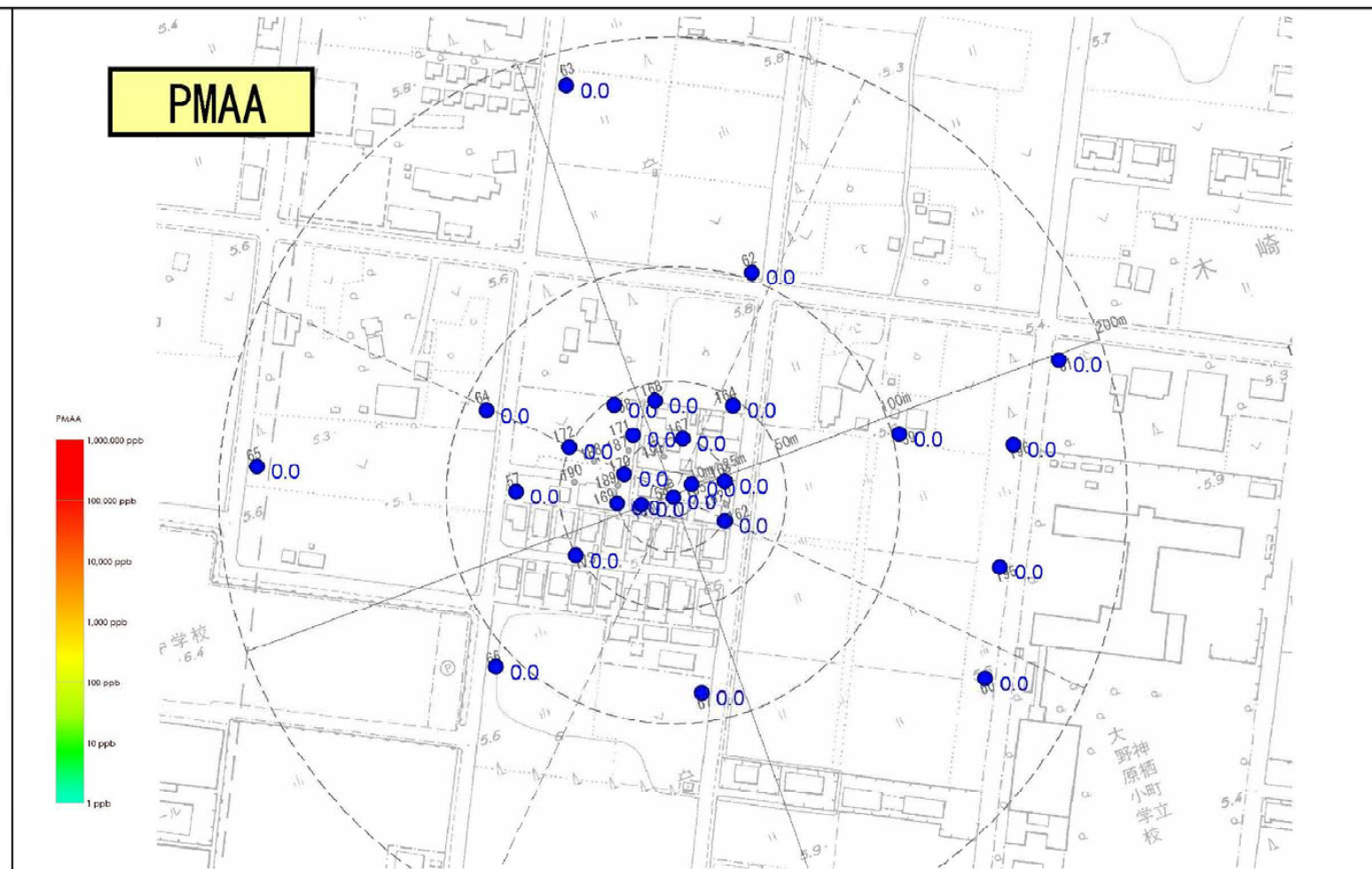
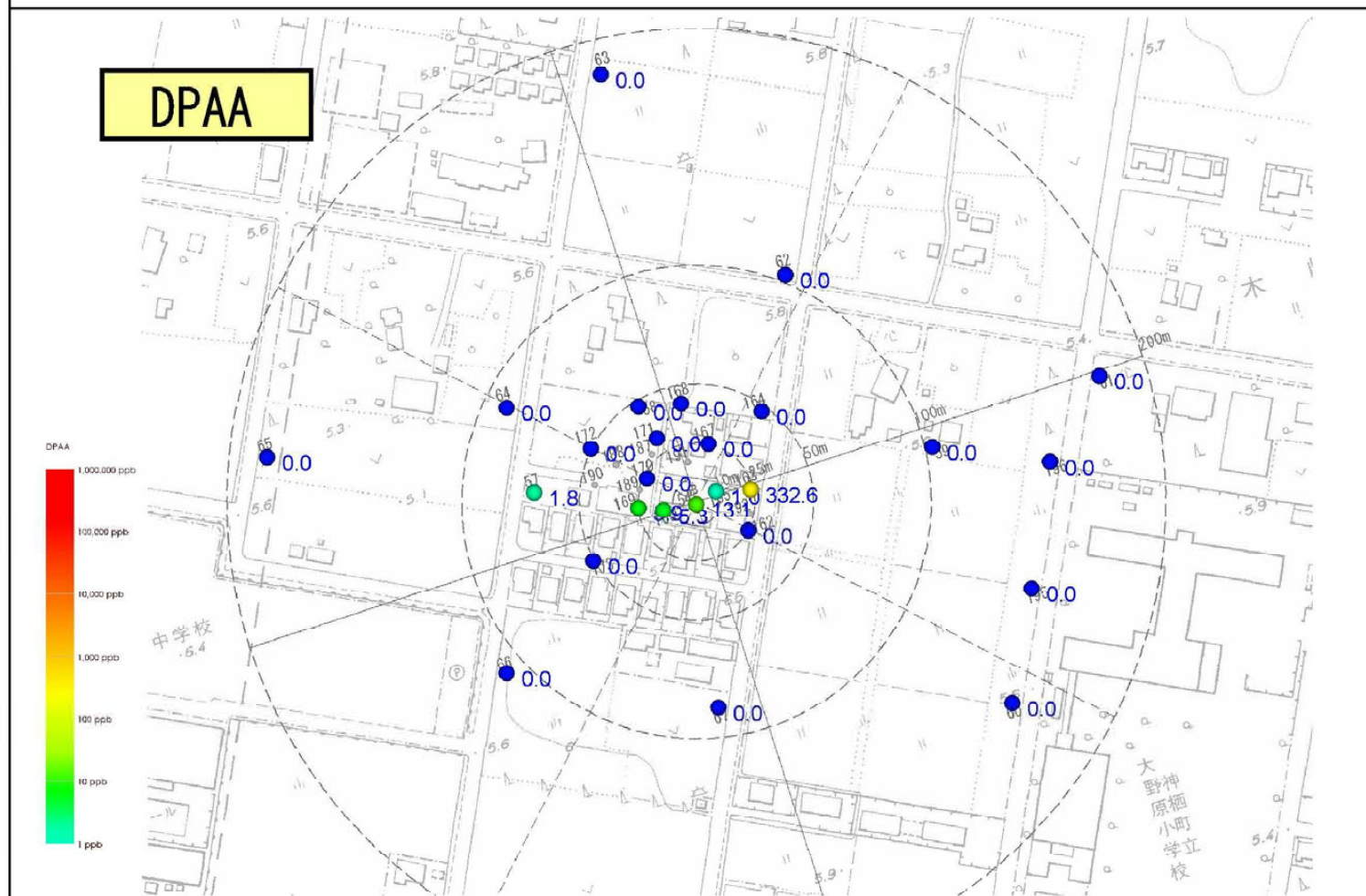


図5.3.37 2005年冬季(2~3月)B地区地下水DPAA・PAA・PMAA汚染状況図(深度30m) 単位:ppb(ヒ素換算値)

